

МІНІСТЕРСТВО ОСВІТИ УКРАЇНИ
СУМСЬКИЙ ДЕРЖАВНИЙ УНІВЕРСИТЕТ

КОНСПЕКТ ЛЕКЦІЙ
З КУРСУ
"НАПІВПРОВІДНИКОВІ ПРИЛАДИ"
ЧАСТИНА ТРЕІЯ
для студентів спеціальностей
20.05, 21.01 усіх форм навчання

Затверджено
на засіданні кафедри
як конспект лекцій
з дисципліни
"Напівпровідникові прилади"
спеціальності 20.05, 21.01.
Протокол № 17 від 11.05.94.

Укладачі: О.М.Кобилюк
О.А.Борисенко
Кафедра промислової електротехніки

4. ПОЛЬОВІ ТРАНЗИСТОРИ

Польові транзистори /ПТ/ - це напівпровідникові прилади, в яких протікання струму зумовлене дією основних носіїв заряду під дією поздовжнього електричного поля, а управління величиной цього струму здійснюється за допомогою поперечного електричного поля, яке змінює електропровідність струмопровідної ділянки напівпровідника. Це поле створюється непругим, яку прикладено до управлючого електрода.

Існують два типи ПТ: польові транзистори з керуючим $P-n$ - переходом /ППУП/ і польові транзистори з ізольованим затвором, що мають структуру метал-діелектрик-напівпровідник /метал-окис-напівпровідник/ і називаються в сокращенні МДН /МОН/-транзисторами.

Другий елемент позначення ПТ - літера "П".

4.1. ПОЛЬОВІ ТРАНЗИСТОРИ З КЕРУЮЧИМ

$P-n$ - ПЕРЕХОДОМ

ПТ з керуючим $P-n$ - переходом /ППУП/ виготовляється з кремнієвого кристала n - або P - типу. Схематичне позначення ППУП показано на рис.4.1.

До таких транзисторів належать прилади: КП 101, КП 102, КП 103, КП 201 - транзистори з p -каналом; КП 302, КП 303, КП 307, КП 312 - транзистори з n - каналом. Як видно з позначень, низькочастотні ППУП мають канал p -типу, високочастотні - канал n - типу. Справа в тому, що в p -каналі основні носії - дірки, а їх рухомість менша, ніж у електронів, які є основними носіями в каналах n - типу.

Схематично будова ППУП з p -каналом показана на рис.4.2. Транзистор складається з напівпровідникової області p -типу і двох областей n - типу. Останні з'єднуються разом і утворюють керуючий електрод - затвор. На межах поділу n - областей та p - області виникають високоенергетичні заряди - ка-

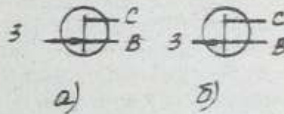


Рис. 4.1. Схематичне позначення ППУП з n - каналом /а/ і з p -каналом /б/

руковий $p-n$ - перехід. Частина p - області між запірними шарами називається каналом. Над дією джерела напруги U_{cb} у каналі утворюється поздовжнє електричне поле, яке примушує дірки рухатися до "-" U_{cb} в напрямі від електрода, по якому називається витоком, до електрода, який називається стоком. Отже, в каналі і в зовнішньому колі стоку протікає струм стоку I_c під дією напруги на стоді відносно витоку U_{cb} .

На затвор відносно витоку подається напруга U_{zb} , яка зміщує $p-n$ - перехід в зворотному напрямі. У колі затвора протікає малий струм I_z .

Приклади конструкції ПУП показані на рис. 4.3/МП 102/ та рис. 4.4 /МП 103/. У рамках планарної технології /рис.4.3/ засобом дифузії в приповерхневому шарі кремнієвого кристалу

n - типу створюється вузька область p^+ -типу /канал/ і дві високомолекульні області p -типу /витік і стік/. На ці області наноситься тонка плівка з алюмінієм, до якої припаяються виводи витоку і стоку. Поверхня кристала покривається зглаженим шаром двоокису кремнію / SiO_2 /.

Затвором слугує кристал-підкладка, до якого припається вивід керуючого електрода. Вся конструкція розміщується в герметичному металевому або пластиковому корпусі.

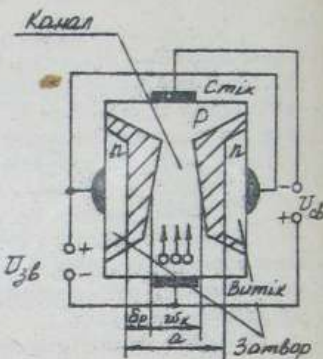


Рис. 4.2. Схематична будова польового транзистора з керуючим переходом і p -каналом

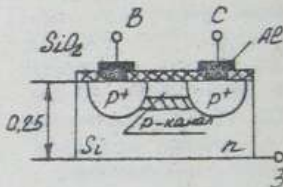
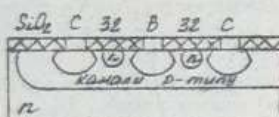


Рис. 4.3. Конструкція ПУП МП 102

Польові транзистори типу КП 103, на відміну від попередніх, мають п'ять паралельних каналів, біля кожного з яких розташовані додатковий другий затвор 32 /першим затвором 31 є підкладка/ - рис. 4.4. Наяність п'яти каналів і додаткових затворів дозволяє збільшити струм стоку, а також підвищити ефективність управління товщиною каналу, оскільки перекриття каналу відбувається з обох затворів і зверху, і знизу.

Принцип дії ПТУП розглянемо за допомогою схематичного зображення пристроя на рис. 4.2. При збільшенні напруги U_{3b} , яке включає запірні шари в зворотному напрямі, ці шари розширяються. Товщина $p-n$ -переходу зростає цілком у бік канала, оскільки у ПТУП області затвора завжди високолеговані, а канал має низьку концентрацію домішок / $N_{A3} \gg N_{Ak}$ для транзистора з p -каналом/. Розширення керуючого $p-n$ -переходу приводить до зменшення ширини каналу, зменшення його електропровідності і зменшення струму через нього / I_c / при несмішаній напрузі. Отже, змінюючи напругу на затворі U_{3b} , тобто змінюючи поперечне електричне поле, можна ефективно управити зміною струму стоку I_c / величиною внутрішнього опору транзистора/. Це найважливіша властивість польового транзистора в режимі підсилення входних сигналів. Саме вона зумовлює суттєву відмінність ПТ від біополярних транзисторів, які полягають наступному. При зміні таєднот напруги ПТ U_{3b} змінюється лише поперечне поле, то управліє інтенсивністю потоку носіїв через канал. Вхідний струм транзистора - струм затвора I_3 - практично не змінюється як струм насичення $p-n$ -переходу в зворотному викладенні. Отже, внаслідок слабкої зміни I_3 при міні затворній напрузі, а також з причини великого вхідного опору ПТ /малого струму I_3 / важить, що управління вихідним струмом приладу I_c відбувається не за рахунок зміни вхідного струму, як у БТ, а внаслідок зміни таєднот напруги, як у вакуумному триоді. Великий вхідний опір всіх ПТ у порівнянні з біополярними - це суттєва перевага польових пристрій.



34

Рис. 4.4. Фрагмент структури ПТУП КП103

Нехай стокова напруга $U_{cb} = 0$. Тоді при зміні U_{3b} можна досягти повного перегріття каналу внаслідок зміщення за-пірних шарів. Канал в цьому випадку має дуже великий опір, а напруга, при якій не відбувається, називається напругою відсічкою / $U_{3b,cig}$ /. Напруга $U_{3b,cig}$ є важливим параметром ПТУП. Співник II, в таком досліді ми вплив напруги U_{3b} на товщину каналу w_k .

Товщина $p-n$ -переходу, як відомо з первого разделу конспекту, дорівнює

$$\delta = \sqrt{\frac{2EE_0}{q} \left(\frac{1}{N_A} + \frac{1}{N_D} \right) (U_K - U)} . \quad /4.1/$$

Оскільки $N_{D_0} \gg N_A$, то $\delta \approx \delta_p$, і тоді для зворотної напруги затвора

$$\delta = \sqrt{\frac{2EE_0(U_K + U_{3b})}{q N_A}} . \quad /4.2/$$

Ширина каналу можна визначити згідно з рис. 4.2 за формуллою

$$w_k = \alpha - 2\delta = \alpha - 2\sqrt{\frac{2EE_0(U_K + U_{3b})}{q N_A}} , \quad /4.3/$$

де α - відстань між n -областями затвора.

Як було зазначено, при $U_{3b} = U_{3b,cig}$ канал перекривається / $w_k = 0$ /. Для цього випадку з формули /4.3/ випливе, що

$$U_K + U_{3b,cig} = \frac{q \alpha^2 N_A}{8EE_0} .$$

Наприклад, для ПТУП з $N_A = 8 \cdot 10^{15} \text{ см}^{-3}$ і $\alpha = 2 \cdot 10^{-4} \text{ см}$ мімо

$$U_K + U_{3b,cig} = \epsilon \text{ В.}$$

Оскільки контактне різниця потенціалів $U_K \leq 0,3 \text{ В.}$ то можна зважити, що $U_{3b,cig} \gg U_K$, і тоді

$$U_{3b,cig} = \frac{q \alpha^2 N_A}{8EE_0} . \quad /4.4/$$

Використовуючи рівності /4.3/ та /4.4/, можна одержати аналітичну залежність ширини каналу w_k від напруги на зат-

зарі $U_{3\delta}$:

$$w_k = \alpha \left(1 - \sqrt{\frac{U_{3\delta}}{U_{3\delta} + U_c}} \right). \quad /4.5/$$

Оскільки опір каналу обернено пропорційний до його ширини, то існує така залежність

$$R_k(U_{3\delta}) = \frac{R_{k0}}{\alpha \left(1 - \sqrt{U_{3\delta}/U_{3\delta} + U_c} \right)}, \quad /4.6/$$

де $R_k(U_{3\delta})$ - опір каналу при даній напрузі затвора;

R_{k0} - опір каналу при $U_{3\delta} = 0$.

Тепер чех $U_{cb} = 0$. Напруга, що діє на стокі ТТУП, викликає протікання через канал і в зовнішньому колі струму I_c . Струм стоку, протікаючи через ненульовий розподілений опір каналу, створює на ньому падіння напруги /рис. 4.5/. В цьому рисунку вибрано переріз каналу на відстані x від витоку.

Падіння напруги $U(x)$ проходить до величини опору лінії каналу і до струму стоку I_c відповідно, в перерізі x напруга $U_{3\delta} + U(x)$, смісана напруга $U(x)$ має той же напрям, що і напруга $U_{3\delta}$, і тільки $r-n$ -переход використано дії додаткової зворотної напруги.

Не підставі цього можна спереду залежність ширини каналу від координати x , треба від величини напруги $U(x)$:

$$w_k(x) = \alpha \left(1 - \sqrt{\frac{U_{3\delta} + U(x)}{U_{3\delta} + U_c}} \right). \quad /4.7/$$

Очевидно, що поділня напруги при протіканні струму через канал залежить від координати x . Так, біля витоку $/x = 0/$

$U(x) = 0$. Відія стоку $/x = L_k$, де L_k - довжина каналу / $U(x) = U(L_k) = U_{cb}$ /. З цього приводу можна

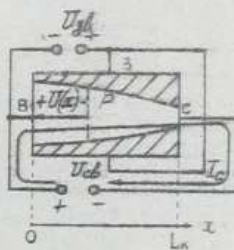


Рис. 4.5. До пояснення конфітурації каналу ТТУП при $U_{cb} \neq 0$

важати, що при ненульовій стоковій напрузі ширина каналу зменшується в напрямі від витоку до стоку, згідно з формуллою /4.7/. Біля стоку ширина каналу мінімальна, оскільки $U(x)_{max} = U_{cb}$:

$$w_k = \alpha \left(1 - \sqrt{\frac{U_{3\delta} + U_{cb}}{U_{3\delta} + U_{cb}}} \right). \quad /4.8/$$

З формулі /4.8/ випливає, що при протіканні через канал ПУП струму стоку I_c опір каналу, а також струм через нього залежать і від напруги $U_{3\delta}$, і від напруги U_{cb} .

Розглянемо статичні характеристики ПУП, які змінюються за допомогою схеми рис. 4.6. На цій схемі досліджуваний транзистор має канал p-типу.

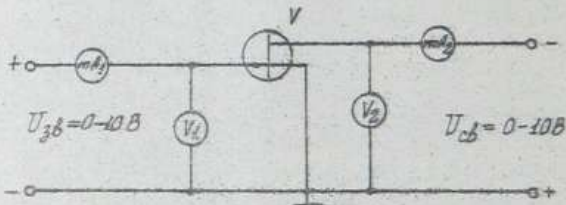


Рис. 4.6. Схема для експериментального зняття характеристик ПУП

Не потрібно забувати, що при дослідженні транзистора з каналом n-типу полярності підключення джерел живлення і вимірювальних приладів треба змінити на зворотні.

Статичні входні характеристики

Не залежності

$I_3 = f(U_{3\delta})$ / $U_{cb} = \text{const}$ / — рис. 4.7/. Вхідні характеристики повністю визначаються властивостями

p-n — переходу ПУП і тому являють собою BAX цього переходу. Оскільки на струм I_3 практично не впливає стокова напруга U_{cb} , то залежності

$I_3 = f(U_{3\delta})$ для різних значень U_{cb} мають не відрізнятися одна від одної, їх подаються у вигляді однієї ха-

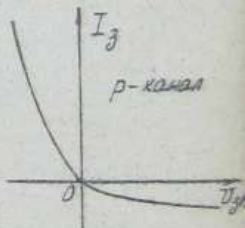


Рис. 4.7. Вхідна /затворна/ характеристика ПУП

характеристики." довідником виключити керуючий перехід ПТП під пряму напругу, що переви у 0,5 В, заборонено [6].

Статичні прохідні /стокозавторні/ характеристики

Це залежності $I_C = f(U_{3B}) \Big|_{U_{CB}=\text{const}}$. На рис. 4.8 показані стокозавторні характеристики польового транзистора МТ 103 М. Їх вигляд пояснюється розглянутим принципом роботи ПТП. При збільшенні стокової напруги зростає струм стоку, тому прохідна характеристика зміщується вгору.

Стокозавторна характеристика може бути апроксимована формулою

$$I_C = I_{C\text{nor}} \left(1 - \frac{U_{3B}}{U_{3B\text{нор}}} \right)^2,$$

4.8/

де $I_{C\text{nor}}$ — початковий струм стоку /при $U_{3B} = 0$.

При напрузі відсічки $U_{3B\text{нор}}$ /МТ 103 М вона приблизно дорівнює 5 В/ струм стоку $I_C \approx 0$. Точна рівність з вилем не буде, оскільки на відь при починному перевороті каналу через транзистор протікає зворотний струм $p-n$ переходу — струм I_3 .

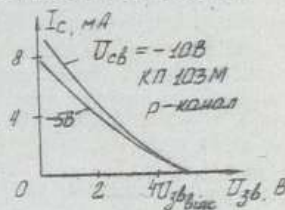


Рис. 4.8. Статичні прохідні характеристики ПТП

Статичні вихідні /стокові/ характеристики

Це залежності

$$I_C = f(U_{CB}) \Big|_{U_{3B}=\text{const}}.$$

Залежність характеристик польового транзистора МТ 103М показані на рис. 4.9. Розглянемо спочатку стокову характеристику, сняту при $U_{3B} = 0$. Якщо в спір уявіду не залежить від струму стоку, то залежність $I_C = f(U_{CB})$ буде лінійною. Але все при невеликих

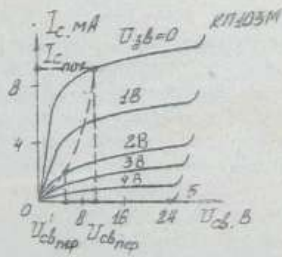


Рис. 4.9. Статичні вихідні характеристики ПТП

напруги: U_{cb} не є кругій ділянці характеристики зростання I_c при збільшенні U_{cb} сповільнюється, тому що канал поводі зменшується за ширину внаслідок зростання запірної щодо р-п-переходу напруги $U(x)$. При деякій напрузі на стисні $U_{cb} = U_{cb, \text{пр}}$ /напругі перекриття/ канал замикається біля стоку. З формулами 4.8/ випливає, що $|U_{cb, \text{пр}}| = |U_{\beta b}|$. Підвищений хід характеристики відзначається, зміною кругої ділянки не пологу, на якій зростання напруги U_{cb} має не приводить до зростання струму I_c . Але деяке зростання струму стоку не пологій ділянці пояснюється наступним чином. Після перекриття каналу біля стоку подальше збільшення напруги U_{cb} приводить до збільшення довжини перекритої частини каналу і його опору. Якщо б довжина перекритої частини каналу лінійно залежала від напруги U_{cb} , то при зростанні напруги U_{cb} збільшувався б пропорційно до останньої опір каналу, і струм через канал мав би постійну величину. Але насправді довжина перекритої частини каналу залежить від напруги U_{cb} так, як глибине проникнення запірного шару до каналу більше /рис. 4.10/. Враховуючи 4.2/, стримуємо

$$\delta p = \frac{2EF_0}{qNa} [U_k + |U_{\beta b}| + |U_{cb}|],$$
4.10/

тобто довжина змінюється /перекритої/ частини каналу і його опір пропорційні до $|U_{cb}|$ і збільшуються при збільшенні U_{cb} більш повільно. Тому на пологій ділянці при зростанні U_{cb} струм I_c також дещо зростає. При деякій величині напругі $U_{cb, \text{пр}}$ виникає пробій ділянки р-п - переходу між затвором і стоком /оскільки саме між ними електродами максимальна напруга/.

Збільшуючи напругу на затворі відносно нуля, спостерігається зміщення вихідних характеристик донизу, оскільки струм стоку при цьому згідно з принципом дії ПЧВ зменшується. Напруга перекриття $U_{cb, \text{пр}}$ для кожної наступної характеристики також зменшується. Це пояснюється сумісною дією на р-п - переході

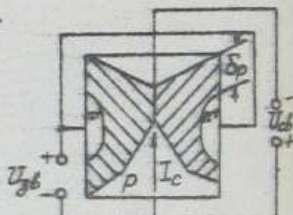


Рис. 4.10. Змінення каналу п.д. дією струму стоку

обох напруг - U_{C8} і $U_{3\beta}$, тобто за формулам /4.8/

$$|U_{C8,npr}| + |U_{3\beta}| = |U_{3\beta_{vpr}}| = \text{const} . \quad /4.11/$$

Зрозуміло з формулі /4.11/, що при збільшенні $U_{3\beta}$ повинна зменшуватись напруга перекриття $U_{C8,npr}$. Пологі ділянки на сім'ї характеристик рис. 4.9 зумовлюють тими ж способами, що і відповідні ділянки на характеристиках при $U_{3\beta}=0$.

Оскільки випадок припину дії ПУП напруги пробою між стоком і затвором

$$U_C = (|U_{3\beta}| + |U_{C8}|)_{prob} = \text{const} , \quad /4.12/$$

то при збільшенні напруги на затворі пробій відбудеться при меншій напрузі стоку, як це показано на вихідних характеристиках рис. 4.9.

Круті ділянки вихідних характеристик називаються омічними. Диференційний спір ПУП на цих ділянках залежить від затворної напруги $U_{3\beta}$. Тому ці ділянки є робочими в режимі, коли ПУП використовується як електронно-керованій змінний резистор.

На пологих ділянках ПУП працює як підсилювальний елемент.

Диференціальні параметри польових транзисторів

1. Крутизна прохідної характеристики визначає наявність характеристики в довільній точці

$$S_{pt} = \frac{dI_C}{dU_{3\beta}} \Big|_{U_{C8}=\text{const}} . \quad /4.13/$$

тобто засвідчує, що смілки міліампер змінюються струм стоку при зміні напруги на затворі на 1 В при $U_{C8}=\text{const}$. Значення S_{pt} лежить в межах від 0,5 до кількох мА/В і може бути одержане графознаглядно, за стокозатворними характеристикими.

2. Внутрішній /диференціальний/ спір

$$\gamma_{int} = \frac{dU_{C8}}{dI_C} \Big|_{U_{3\beta}=\text{const}} . \quad /4.14/$$

Складає від кількох десятирів до сотень кілоом. Може бути

одержаний за вихідними характеристикиами П.

3. Статичний коефіцієнт підсилення напруги

$$M_{pt} = - \frac{d U_{cb}}{d U_{zb}} \Big|_{I_c = \text{const}} \quad /4.15/$$

Коефіцієнт може бути визначений за формулою

$$M_{pt} = S_{pt} \cdot \gamma_{pt} \quad /4.16/$$

Релючина M_{pt} складає сотні одиниць.

4. Диференціальний вхідний опір

$$\gamma_{zb} = \frac{d U_{zb}}{d I_z} \Big|_{U_{cb} = \text{const}} \quad /4.17/$$

Значення γ_{zb} лежить у межах від кількох сотень кілопом до одиниць мегаом. Вони можуть бути визначені за статичними вхідними /затворними/ характеристиками.

4.2. ПОЛІПОРІ ТРАНЗИСТОРІ З ІЗОЛЬВАНИМ ЗАТВОРОМ /ПІП - ТРАНЗИСТОРІ/

4.2.1. Ефект поля

В основу роботи ПІ з ізольованим затвором /ПІІІ - або МОН-транзисторів/ покладена ідея, що називається ефектом поля. Суть цього явища полягає в наступному.

Нехай до напівпровідникового кристалу n -типу приєднано металеву пластину /рис. 4.II/, яка не має залежності від контактного з'єднання з кристалом, окрім відстані від основного ізольованого діелектричного плівки. Якщо до металевої пластини t до кристала /підкладки/ притягти електроди і подати напругу плюсом до металевої пластини і мінусом до підкладки, то в кристалі виникає електричне поле. Під дією цього поля електрони з глибини НП дрейфують до поверхні, збегачуючи основним носіям приповерхневий шар і висаджуючи цього збільшуючи його електронну концентрацію

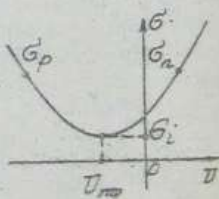
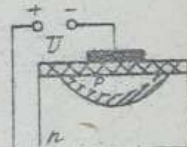


Рис. 4.II. До пояснення зразку підсилювача з напівпровідником

відність /див. праву вітку графіка рис. 4.II/, помічено B_p /.

Якщо тепер замінити полярність підключення напруги U /як це показано на рис. 4.II/, то толе зменшить стійкість навколо, і електрони від поверхні кристала дрейфують вглиб. Противоперевесий шар кристала збільшується на основі масі за рахунок вільного електронів і притому власних дірок з глибини III. Електронна питома провідність шару біля поверхні зменшується до величини власної питомої провідності B_c /див. ділянку тід

$U = 0$ до $U = U_{\text{пор}}$ у другому квадранті графіка рис. 4.II/.

При пороговій напрузі установлення власної питомої провідності

B_c пару означає, що концентрація електронів дорівнює концентрації дірок, $n_c = p_c$. Якщо на металевій пластині збільшувати негативну напругу відносно підкладки, тоді, як дірок у приповерхневому шарі стає більше, ніж електронів, $p_n > n_n$, шар набуває провідності p -типу, і між шаром і рештою кристала виникає $p-n$ - переход /рис. 4.II/. Це явище називається інверсією типу електропровідності приповерхневого шару. Пояснення збільшення негативної напруги на металі приводить до збагачення інвертованого шару на дірки - зростає діркова питома провідність /вітка B_p на характеристиці рис. 4.II/.

4.2.2. МДН-транзистори з індукованим каналом

Структура МДН- /MOS/ транзистора з індукованим каналом p -типу показана на рис. 4.III. У НП p - типу /підкладці/ дифузійним способом створені дві області P^+ - області, що не мають між собою електричного зв'язку, що відділені одна від одної зустрічними $p-n$ - переходами. Одна з цих областей є витоком, друга - стоком. Металева пластина, відрізана від поверхні підкладки ізольтним шаром з воскового кремнію, вініграє роль затвора.

При $U_{\text{зт}} = 0$ і ненульовій напрузі стоку /рис. 4.III,a/ між витоком і стоком протікає малий зворотний струм $p-n$ - переходу. Транзистор замкнений.

Якщо тепер до металевого затвора прикласти рівносильно підкладки негативну напругу, та під ділою електричного поля почувається дрейф електронів від поверхні вглиб кристала. При пороговій напрузі $U_{\text{зт}} = U_{\text{пор}} = U_{\text{зт}nep}$ відбувається інверсія типу електропровідності приповерхневого шару і виникає канал p -типу, та с'єднують електрично області витоку і стоку /рис. 4.III,b/.

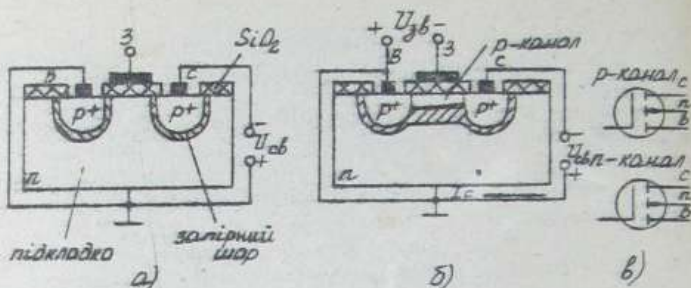


Рис. 4.12. Будова МДН-транзистора з індукованим каналом: а/ $U_{cb} = 0$; б/ $U_{cb} < 0$; в/ схемні позначення

При ненульовій напрузі стоку через канал і в зовнішньому колі потече струм I_C , який в каналі зумовлений рухом дірок від витоку до стоку. Оскільки струм I_C , що протікає через канал, створює на його спорі падіння напруги $U(x)$, як у ПТУП, то електричне поле біля витоку стає більшим, ніж біля стоку, і тому канал біля витоку ширший.

При збільшенні негативної напруги на затворі глибина проникнення інверсного шару в НП збільшується, канал розширяється, його провідність і струм стоку I_C зростають. Цей режим, коли збільшення за модулем напруги U_{cb} приводить до зростання струму стоку I_C , називається режимом збагачення.

Очевидно, що при прикладенні до затвора позитивної напруги струм стоку буде складати мінімуму величину як струм $p-n$ -переходу в зворотному виключенні, оскільки каналу не існуватиме.

Статична стокозатворна характеристика МДН-транзистора показана на рис. 4.13.

Форма характеристики відповідає принципу дії МДН-транзисторів з індукованим каналом. З характеристики видно, що такі МДН-транзистори збагаченого типу.

Стокові /вихідні/ характеристики МДН-транзисторів з індукованим каналом показані на рис. 4.14. За формою вони аналог-

після до вихідних характеристик МПП і зумовлені подібними процесами у каналі. Змінення вихідних характеристик угору при збільшенні позитивної напруги $U_{3\delta} > U_{3\delta \text{пор}}$ зумовлене розширенням каналу і зменшенням його електричного опору /зростанням струму стоку/.

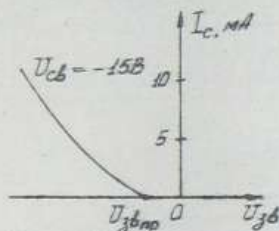


Рис. 4.13. Стокозавторювальні характеристики МПП-транзистора з індукованим р-каналом

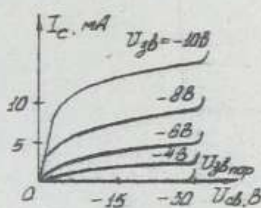


Рис. 4.14. Вихідні характеристики МПП-транзистора збуджено-го типу

МПП-транзистори з індукованим каналом, крім їх використання як дискретних пристрій МП 301, МП 304 з р-каналом, МП 350 – з n -каналом/, використовуються в мікроелектроніці в так званих КМОП-структурех.

4.2.3. МПП-транзистори з вбудованим каналом

В МПП-транзисторах з вбудованим каналом канал створюється конструктивно, на стадії виготовлення, а не виникає внаслідок інтересії току електропровідності приповерхневого шару, як в транзисторах з індукованим каналом. Тому в таких транзисторах при нульовій напрузі на затворі і при напрузі між стоком та витоком, відмінний від нуля, через канал проходить дещоїстий струм, який називається початковим струмом стоку $I_{c\text{ст}}$ /рис. 4.15/. В МПП-транзисторах з вбудованим каналом р-типу збільшення позитивної напруги на затворі приводить до розширення каналу і збільшення струму стоку /рис. 4.15, б/. Збільшення на затворі позитивної напруги /рис. 4.15, в/ викликає надходження електронів з зовні напівпровідника до приповерхневого шару. Ширина каналу, його електропровідність, а також струм стоку зменшуються.

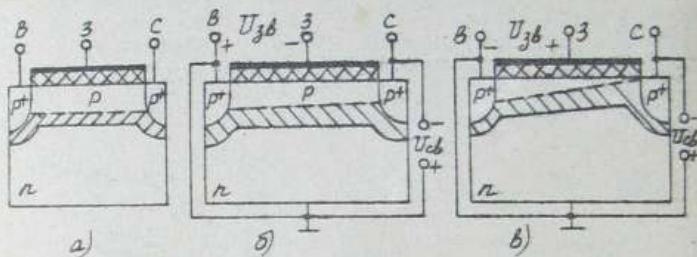


Рис. 4.15. Будова МПН-транзистора з вбудованим каналом

При деякій позитивній напрузі на затворі $U_{3b \text{ вис.}}$ відбувається інверсія типу провідності каналу, і області стоку та витоку розділяються областю n -типу. Струм стоку зменшується до значення зворотного струму $P-n$ -переходу.

Режим роботи транзисторе, коли збільшення напруги U_{3b} за модулем приводить до зменшення струму стоку, називається режимом збіднення. Оскільки лише МПН-транзистори з вбудованим каналом, крім режиму збегачення, мають та й режим збіднення, то вони називаються польовими транзисторами збідненого типу.

Статичні характеристики МПН-транзистора з вбудованим каналом р-типу показані на рис. 4.16. Вигляд їх подібний до вигляду характеристик інших польових транзисторів. Однак ці ха-

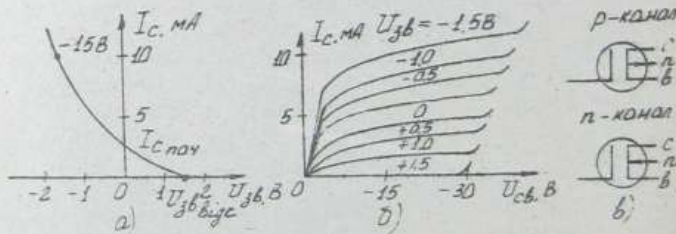


Рис. 4.16. Статичні характеристики МПН-транзисторів з вбудованим р-каналом:
а/ стоковозворотні; б/ стокові;
в/ схематичні позначення.

рактеристики, на відміну від попередніх, мають область позитивних затворних напруг /область збідення/ і область негативних затворних напруг /область зважчення/.

Переваги польових транзисторів - високий вхідний опір r_{in} , який неслідок, дуже мале споживання енергії в керуванні колі, високий в порівнянні з ЕТ коефіцієнт підсилення потужності - ще більше, ніж ПУП, властиві МДН-транзисторам. Та обставина, що металевий затвор в цих приладах ізольований від напівпровідникової підкладки тонким шаром діелектрика, зумовлює, що вхідний опір МДН-транзисторів з десяти-сотні разів знижений, ніж у ПУП, і досягає десятки мегаом, тобто затворний струм I_{gS} не перевищує одиниць наноампер. До того ж, як властивість польових транзисторів з ізольованим затвором зумовлює збільшення завадостійкості і надійності роботи електронних схем, у яких вони використовуються. Але у таких приладів є суттєвий недолік. Відомо, що шар діелектрика затвору I мікрона пробивається напругою 500-600 В. В МДН-транзисторах ізоляція підкладки має товщину 0,1-0,15 мік., і тому II пробиває напругу не перевищує кількох десятків волт. Внаслідок цього МДН-транзистори з дуже чутливими до статичної електрики, називте до тет, то накопичується на людському тілі. Тому в довідниках рекомендується після виходу зі скла зважені транзистори здійснювати не ближче 3 см від корпусу. Під час транспортування, зберігання і монтажу виводи приладів повинні закорочуватись, а руки оператора і паяльник потрібно заземлити.

Прикладами МДН-транзисторів з будованим каналом є чимало потужні прилади: КП 305, КП 206, КТ 213. Існі їх транзистори високочастотні і тому мають прозідність каналу n^- -типу. До поступних МДН-транзисторів з будованим n^- -каналом належать транзистори КП 921.

4.3. ЗАЛЕЖНІСТЬ ХАРКТЕРИСТИК І ПАРАМЕТРІВ ПОЛЬОВИХ ТРАНЗИСТОРІВ ВІД ТЕМПЕРАТУРИ

У ПУП зміна температури приводить до зміни контактної різниці потенціалів U_{kS} на $p-n^-$ -переході, зворотного струму через перешийкі, а також до зміни рухомості основних носіїв заряду.

Зміна U_{kS} супроводжується згідно з формулами 4.2/ зміною глибини проникнення $p-n^-$ -переходу до каналу, а це дозволяє змінювати напругу відстічки $U_{gS}^{(b)g}$. Наприклад, при збіль-

певні температури на T° U_k зменшується на 2 мВ , тодіні $\rho-n$ - переходу змінюється, а напруга відсічки зростає, причому $\Delta U_{\text{зір}} = \Delta U_k$. Зменшення товщини $\rho-n$ - переходу викликає розширення канала, тобто збільшення струму I_c .

В той же час залежність рухомості основних носіїв у каналі від температури може бути виражена формулою

$$M_{T_2} = M_{T_1} \left(\frac{T_1}{T_2} \right)^{n_m} \quad /4.18/$$

де M_{T_1}, M_{T_2} - рухомості носіїв при температурах T_1 та T_2 відповідно;

$n_m > 1$ - коефіцієнт.

З формули /4.18/ видно, що при збільшенні температури рухомості основних носіїв змінюються, спір каналу внаслідок цього збільшується, а струм стоку I_c зменшується.

Отже, зміна U_k і рухомості основних носіїв у каналі при зміні температури протилежно впливають на спір каналу і струм стоку I_c . За певних умов дія цих факторів можна компенсуватися, і при деякій напрузі не затворі струм стоку I_c не залежить від температури /рис. 4.17/. Точка А на стокові затворівих характеристиках ПТУР струм I_c не залежить від температури, наявністю термостабільною точкою. Лівіше від цієї точки струм I_c із збільшенням температури зменшується, прагніє - збільшується. При цьому збільшення температури приводить до деякого збільшення напруги відсічки.

Але як основний джерел роботи ПТУР /лівіше т. А/ струм стоку і крутизна змінюються при зростанні температури. Це обставина зумовлює суттєву перевагу ПТ перед ЕТ, у яких внаслідок якого самоперегріву зростання колекторного струму при нагріванні може привести остаточно до теплового пробою.

Вказана температура на хід стокових характеристик ПТУР

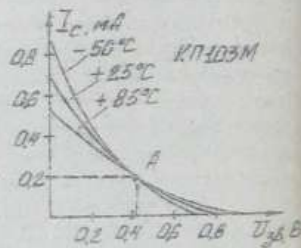


Рис. 4.17. Температурний дрейф стокових характеристичних кривих ПТУР

показаний на рис. 4.13.

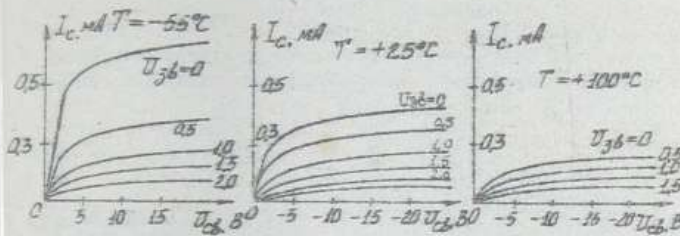


Рис. 4.13. Вплив температури на стокові характеристики ПНП

Резом з тим збільшення температури приведе до зростання зворотного /теплового/ струму керуючого $p-n$ -переходу, тобто вхідного струму ПНП I_3 /приблизно в 2 рази при збільшенні температури на 10°C /. Тому при збільшенні температури вхідний опір ПНП змінюється.

У МОН-транзисторах температурна залежність напруги відсічки /порогової напруги/ відрізняється зміною рівня фермі, зміною об'ємного заряду в збільшенному шарі $p-n$ -переходу між катодом та підкладкою, а також залежністю величини заряду в лінійтику від температури. Величина порогової напруги в МОН-транзисторах змінюється на 4-10 мВ при зміні температури на 1 градус /в залежності від типу приладу/. Температурні зміни характеристик і параметрів МОН-транзисторів більші, ніж у ПНП.

Робочий діапазон температур МОН менший, ніж у кремнієвих МТ /від -50°C до $+125^{\circ}\text{C}$, як у МТ 305, МТ 306/.

4.4. ПІДАМІЧНИЙ РЕЖИМ РОБОТИ ТОЛКОМУ ТРАНЗИСТОРІВ

У підамічному режимі не єхід МТ належить змінна напруга, яка викликає зміну вихідного струму. З метою виділення вихідного сигналу до вихідного кола транзистора включається змінення. Транзистор при цьому можна змінити зі спільним витоком, спільним затвором або зі спільним стоком. Найбільше поширення час скема зі спільним витоком. Розглянемо деякі різ-

новиди схем каскадів на ПТ зі спільним витоком.

4.4.1. Каскад на польовому транзисторі: розрахунок у статичі і динаміці

Найнеструміші схема підсилювального каскаду на ПТУП показана на рис. 4.19, а. Підсилювач містить у собі ПТ, включений

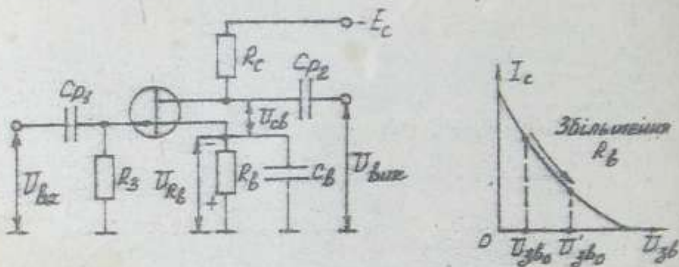


Рис. 4.19. Підсилювальний каскад на ПТУП /а/
та стокозатворна характеристика
транзистора /б/

зі спільним витоком, резистор напавтаження R_C , ланцюжок автоматичного зміщення R_B, C_B і резистор R_3 , який забезпечує подачу на затвор напругу зміщення з ланцюжка R_3, C_B і напроти вхідного сигналу, а також роздільні конденсатори C_{p1} і C_{p2} .

При $U_{bx} = 0$ в колі стоку і витоку протікає струм спокою I_{C0} , який створює на резисторі R_B напругу зміщення першого $p-n-p$ -переходу $U_{D_{S0}} = I_{C0} R_B$. Спрій резистора R_B дорівнює

$$R_B = \frac{U_{D_{S0}}}{I_{C0}} . \quad /4.19/$$

Резистор R_B - це елемент негативного зворотного зв'язку за постійним струмом. Збільшення спору цього резистора призводить до збільшення стабільності параметрів підсилювача і разом з тим до зменшення струму стоку, і до зміщення робочої точки на ділянку стокозатворної характеристики з меншою

крутизною $S_{\text{ПУ}}$ /рис. 4.19,1/. Зменшення крутизни $S_{\text{ПУ}}$ викликає зменшення коефіцієнта підсилення каскаду, а наближення робочої точки до напруги відсічки зменшує допустиму амплітуду вхідної напруги і збільшує келініті спотворення вихідної напруги. Тому для того, щоб при збільшенні опору резистора R_b не зменшувалася струм I_{C_0} , до кола затвора треба ебо зважити додаткове піскерело напруги живлення, або підключити затвор до подільника напруги з резисторів $R_1 + R_2$ /рис. 4.20/. Завдяки цьому досягається часткова компенсація падіння напруги на опорі R_b , спір цього резистора може бути вибраний більшим, ніж у схемі рис. 4.19,а, і падіння напруги $U_{R_b} = I_{C_0} R_b > U_{3b_0}$.

В цьому випадку

$$R_b = \frac{U_{R_b}}{I_{C_0}} . \quad /4.20/$$

Для контура, створеного резисторами R_b, R_2 і дільником затвор-вітків ПТУП /рис. 4.20/, можна записати

$$U_{R_2} + U_{3b_0} - U_{R_b} = 0 ,$$

звідки

$$U_{R_2} = U_{R_b} - U_{3b_0} . \quad /4.21/$$

Величину опору R_2 вибирають на основі вимог зabezпечення заданого значення вхідного опору каскаду. Для створення на цьому резисторі напруги за формулю /4.21/ необхідно забезпечити протікання через подільники R_1, R_2 струму, що дорівнює

$$\Gamma_n = \frac{U_{R_2}}{R_2} = \frac{U_{R_b} - U_{3b_0}}{R_2} . \quad /4.22/$$

Спір резистора R_c знаходить з рівняння

$$R_c + R_b = \frac{E_c - U_{C_0}}{I_{C_0}} ,$$

де U_{C_0} — напруга на сточі в речимі спокові.

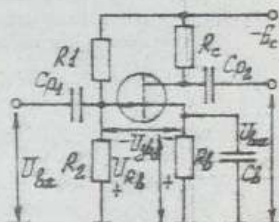


Рис. 4.20. Підсилювальний каскад на ПТУП з подільником напруги на вході

З урахуванням формули 4.20/ достаточно знаходити

$$R_C = \frac{E_C - U_{CB} - U_{RB}}{I_{C_0}} . \quad /4.23/$$

Онір резисторе R_1 дорівнює

$$R_1 = \frac{E_C - U_{RB}}{I_n} . \quad /4.24/$$

Властивості підсилювача на ПТМІ оцінюються наступними параметрами динамічного режиму:

динамічною крутизною

$$S_d = \frac{d I_C}{d U_{ZB}} \left| \begin{array}{l} R_C = \text{const} \\ E_C = \text{const} \end{array} \right. ; \quad /4.25/$$

динамічним коефіцієнтом підсилення

$$K = \frac{d U_R}{d U_{ZB}} \left| \begin{array}{l} R_C = \text{const} \\ E_C = \text{const} \end{array} \right. = - \frac{d U_{CE}}{d U_{ZB}} \left| \begin{array}{l} R_C = \text{const} \\ E_C = \text{const} \end{array} \right. . \quad /4.26/$$

Ці параметри розраховуються або аналітично за формулами:

$$S_d = \frac{S_{PT}}{1 + R_C / \tau_{i,PT}} ; \quad /4.27/$$

$$K = \frac{\mu_{PT}}{1 + \tau_{i,PT} / R_C} , \quad /4.28/$$

де $S_{PT}, \tau_{i,PT}, \mu_{PT}$ - статичні диференціальні параметри ПТ /див. параграф 4.1/,

або за допомогою графовоаналітичного способу. Останній дуже подібний до графовоаналітичного способу розрахунку параметрів режиму підсилення БТ і полягає в наступному. На сім'ї стокових /вихідних/ характеристик будуть навантажувальну характеристику для змінного струму. Оскільки змінна складова струму I_C через резистор R_B не протікає, то рівняння навантажувальної характеристики

$$I_C = \frac{E_C - U_{CB}}{R_C} . \quad /4.29/$$

Перетан шієї прямої з статичною вихідною характеристикою знятим при вибраній напрузі споку U_{3b} (рис. 4.21), визначає положення початкової робочої точки, яка характеризується струмом споку I_{C0} та напругою споку U_{C0} . Після визначення цієї точки за заданою амплітудою вхідної напруги U_{m3b} розраховують параметри режиму підсилення:

$$S_d = \frac{2 I_{mc}}{2 U_{m3b}} = \frac{I_c^0 - I_c'}{2 U_{m3b}};$$

$$K = \frac{U_{m3b}}{U_{m3b}} = \frac{U_{cb}'' - U_{cb}'}{2 U_{m3b}}.$$

Оскільки вхідний спір ПУІ великий, то вихідний спір підсилювального каскаду (рис. 4.20) визначається спором подільника напруги $R_1 R_2 / (R_1 + R_2)$.

4.4.2. Частотні властивості польових транзисторів

Для аналізу поведінки польових транзисторів на різних частотах використовують еквівалентну схему рис. 4.22.

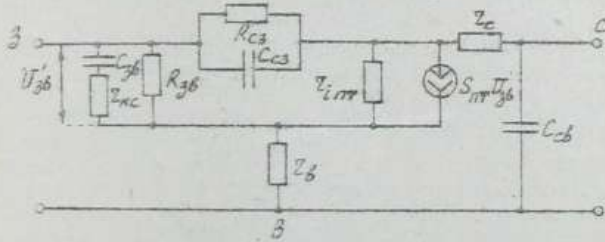


Рис. 4.22. Еквівалентна схема польового транзистора

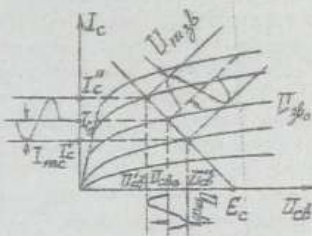


Рис. 4.21. До розрахунку параметрів режиму підсилення масиву на ПУІ

Розглянемо схему зображену на рис. 4.22, що відрізняється від даних схеми тим, що міднелінія в ПУП з'єднуються в затвором, а в МДН-транзисторах - в витоком. Елементи τ_c та $\tau_{\text{б}}$ - це опори ділянки ПП, які знаходяться між окінчанням контактами стоку, витоку й затвора. Елемент $\tau_{\text{кор}}$ - це середній розподілений опір канала, через який заряджається і розривається ємність між затвором і витоком C_{36} . Елементи R_{c3} і R_{36} - це спори включених у зворотному напрямі керуючих $p-n$ -переходів у ПУП, єбо спори між стоком і затвором, затвором і витоком у МДН-транзисторах. Рухомо струму $S_{37} U_{37}$ відображає процес управління вихідним струмом ПП за допомогою вхідної напруги U_{36} . $\tau_{\text{б}} \tau_c$ - внутрішній опір ПП. Спори τ_b та τ_c у ПУП складають десятки Ом, у МДН-транзисторів - частки Ом. Опори R_{c3} та R_{36} великі і для ПУП складають сотні кілоом, а для МДН-транзисторів досягають значень 10^{-4} Ом. Значення ємності C_{36} і C_{37} складають $1/3-20/\mu\text{F}$, а ємність C_{33} не перевищує 10 пФ .

Частотні властивості ПУП визначаються здебільшого кількістю затвор-витоків (фрагмент схеми рис. 4.22 з елементами C_{36} , $\tau_{\text{кор}}$, R_{36}). Вхідна змінна напруга U_{36} розподіляється між ємностями C_{36} і середнім спором каналу $\tau_{\text{кор}}$. Безпосередньо керуючою напругою, під дією якої змінюється товщина $p-n$ -переходу і ширина каналу, є напруга, прикладена до ємності C_{36} . При збільшенні частоти реактивний опір ємності C_{36} зменшується, що приводить до перерозподілу напруги U_{36} на елементах C_{36} та $\tau_{\text{кор}}$ і до зменшення керуючої напруги U_{36} . Отже, при збільшенні частоти вхідної напруги підсилювальний ефект транзистора зменшується. Частота, на якій

$$1/\omega C_{36} = \tau_{\text{кор}},$$

називається граничною частотою ПУП ω_3 (частотою затвора).

Тобто

$$\omega_3 = \frac{1}{C_{36} \tau_{\text{кор}}} \quad , \quad /4.30/$$

З формулі /4.30/ випливає, що гранична частота ПУП залежить від напруги зміщення U_{36} , оскільки від неї напругу залежить товщина $p-n$ -переходу, тобто C_{36} і $\tau_{\text{кор}}$.

Крім цілкості перезряду ємності C_{36} (тобто стиски часу кода затвора $T_3 = C_{36} \tau_{\text{кор}} = 1/\omega_3$), на частотні властивості ПУП впливає час прольоту носіїв заряду через канал. Як-

ко час прольоту виникається суміром з першою скінченою сингулярністю, то зміна струму стоку не встигає спідкувати за зміною керуючої напруги на затворі, і динамічна крутизна β зменшується. Але в розглянутому ППЛ джерела току дорівнює 5-10 мА. Тому час прольоту викликається значно меншим стоком часу затвора t_3 , і цого можна не враховувати.

Границя частоти МОУ-транзисторів визначається за формулами

$$\omega_F = \frac{S}{C_{3b}} \quad \text{чи} \quad f_F = \frac{S}{2\pi C_{3b}}, \quad (4.31)$$

де S - друкана приладу.

Для МОУ-транзистора, у якого $C_{3b} = 5 \text{ пФ}$ і $S = 50 \text{ мВ}$, гранична частота $f_F = 100 \text{ МГц}$.

4.5. ПОТУЧНІ ПОЛІСІОВІ ТРАНЗИСТОРИ

Потужні полісіові транзистори з кільцевим і піасмо-вальним резонатором повинні забезпечувати високий КМД. В ключовому режимі треба намагатися, щоб опір транзистора у відкритому стані був мінімальним, тоді втрати потужності в приладі $P = I_c^2 R_{\text{кан}}$ також будуть мінімальними. В пірникованому режимі великий опір каналу ПП приводить до зменшення крутизни за рахунок перегріву, а також з причини виникнення негативного зворотного зв'язку через опір затвору R_6 .

Тому головною є методом до потужних ПП є використання спору каналу. З цією метою у трилапі використовують велику кількість паралельно з'єднаних канальців, що створює короткий канал зорієнтований зіз працівницьких горизонтальних /поперечних/ структур до вертикальних, у яких напрям струму паралелізується похибкою структури.

Необхідно пропускати великий струм і розглядати значні потужності роботи на обхідному збільшенні площі структури потужних ПП, що викликає збільшення тарзантних ефектів і, як наслідок, підвищення коефіцієнта ПП. Тому створення потужного і разом з тим еквидистанціального /високочастотного/ ПП - є велике проблема напівпровідникової електроніки.

Потужні МОУ-транзистори

Цієї транзистори мають короткий канал, який забезпечує

низький опір відкритого транзистора у ключовому режимі і високу крутизну в пілесилівальному режимі /рис. 4.23/. У цих приладах багатоканальності поєднується з вертикальністю структури. V -подібні затвори таких МТ сприяють збільшенню багатоканальності приладу, осмільки кожний затвор "обслуговує" два витоки і два каналі. Основні особливості приладу рис. 4.23 - це зменшення довжини каналу і використання високоомної сточової n^- -області, через яку вільбувається дрейф носіїв заряду струму стоку. Просте укорочення каналу привело б до зниження пробивної напруги між стоком і затвором. Уведення додаткової дрейфової області дозволило зберегти значення пробивної напруги транзистора.

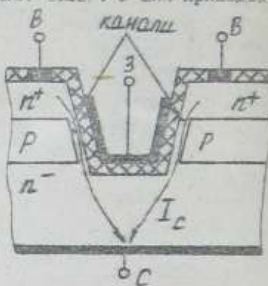


Рис. 4.23. Структура багатоканального потужного МПН-транзистора

Транзистори з статичного індукцією

Це різновид потужних ПТУП з структурою, показаною на рис. 4.24.

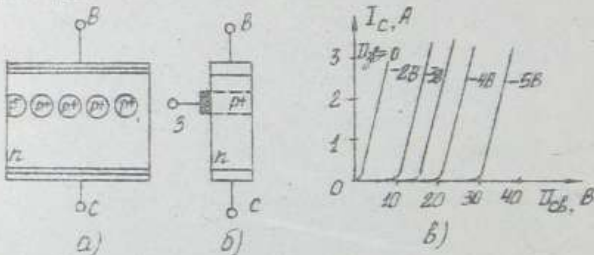


Рис. 4.24. Структура ПТУП з статичного індукцією /а/, вигляд структури збоку /б/, вихідні характеристики /в/

Вихідні характеристики ПТУП з статичного індукцією не ма-

єть подібних ділянок, тобто вихідний спір приладів досить малий.

Транзистори мають дуже короткий канал і малу відстань від витоку до затвора /приблизно 10 мкм/. Підвищення їх потужності забезпечується басетоканальним будови і малими розмірами областей затвора, циліндричних за форму /діаметр приблизно дорівнює 25 мкм/. При збільшенні напруги U_{cb} наростиє струм стоку, обмеження якого не відбувається внаслідок того, що канал /область між затворами/ короткий, затвор майданчик збільшення U_{cb} приводить до зменшення результатичної напруги на затворі відносно витоку. Збільшення негативної напруги на затворі приведе до необхідності збільшення напруги U_{cb} для компенсації зворотної дії U_{zb} , і тому вихідні характеристики при збільшенні U_{cb} зсуваються вправо.

4.6. ПОЛІПШЕ ПРИЛАДУ З ЗАРЯДОВИМ ТЕРМОНОМ

Поліпшений прилад з зарядовим термом /ПЗЗ/ - це напівпровідниковий прилад, у якому може одновременно виконуватися накопичення основних асоціацій заряду під електродами МД-структур /під електродами затворів/ і переміщення цих асоціацій від одного електрода до іншого.

Принцип дії ПЗЗ ґрунтуються на зберіганні заряду неосновних носіїв у потенціальному яму, що утворюється біля поверхні МД під дією зовнішнього поля, і на переміщенні цього заряду вздовж поверхні за рахунок зсуву потенціальних ям.

ПЗЗ - це МДН-транзистор, що має кілька затворів. Розглянемо ПЗЗ, який виконує функцію триггера реєстра зсуву /рис. 4.25, а/. Цей прилад має три секції. Вхідна секція складається з P^+ - області витоку і виходного затвора, що виконує роль "електронів управління рухом дірок з дифузійною" P^+ - області витоку до першої потенціальної ями. Друга секція /секція переносу/ - це кілька затворів, які управлюють посуванням притоверхневого слару МД. Ці затвори з'єднані між собою через дірки. Напруга на затворах секції має форму импульсів різної амплітуди, що послідовно змінюють один одного /рис. 4.25, б-а/. При такій зміні напруги на затворах потенціальні ями переміщуються до виходу приладу, зв'язуючи з собою певну кількість носіїв заряду - дірок. Третя секція ПЗЗ - змінна секція - з'єднана з P^+ -п - перехід стоку, зв'язаний у зворотному напрямі, напруга на якому буде змінюватися при коливанні пікета носіїв заряду - дірок /рис. 4.25, в/.

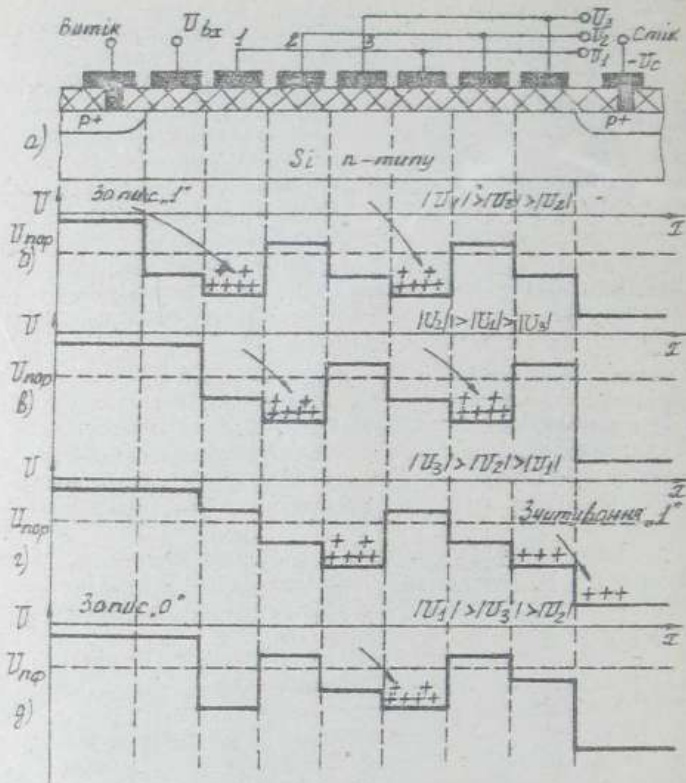


Рис. 4.25. Структура ПЗЗ з тригактним живленням затворів семіні переносу $^{1/2}/+/-$: пояснення принципу його дії /б, в, г, д/, б) зміна логічної одиниці за допомогою зменшення ширини дірок по потенціальності які під первім затвором семіні переносу; в) перенос пакета дірок до наступних потенціальніших які під другі потенціальні на електродах затвора; г/зчитування логічної одиниці на виході прикладу при виступанні дірок з потенціальності які в P^+ -області стоку; д/запис логічного нуля при відсутності негативного потенціалу на електроді затвора

Нехай під час первого токту роботи на вхідний затвор подається напруга $U_{\delta x}$, достатня для утворення провідного каналу під вхідним затвором / $U_{\delta x} > U_{\text{нор}}$ /. Якщо при цьому на першому затворі секції переносу єснує досить велика негативна напруга, тобто під цим затвором створена потенціальні яма для дірок, то дірки будуть виходити з витоку, пройти через канал під вхідним затвором і накопичуватися у потенціальній ямі під первім затвором.

На початку наступного токту дія напруги на вхідному затворі $U_{\delta x}$ припиняється. Йнаслідок цього зникає провідний канал під вхідним затвором. Отже, відбувається запис інформації, наприклад, логічної одиниці, оскільки під первім затвором секції переносу залишився пакет дірок /для запису логічного нуля під час первого токту роботи ПЗЗ на вхідний затвор не має подаватися негативна напруга/.

Після зміни навантаження на затворах секції переносу найбільша негативна напруга діяється на другому затворі секції переносу, і тому пакет дірок пересунеться до потенціальній ямі під другим затвором /рис. 4.25,в/. Під час наступних токтів зміни напруги на затворах секції переносу відбувається поступальне пересування пакета дірок, наприклад вихідної секції /рис.4.25,г,д/.

Якщо у потенціальніх ямах, що підходять до $P-N$ - переходу стоку, наявні дірки, то струм стоку не змінюватиметься. Лише в тому разі, коли до стоку підійде потенціальна яма, яка містить у собі дірки, у колі стоку діяється імпульс струму, оскільки дірки з потенціальною ямою екстрагуватимуть до області стоку через $P-N$ - переход у зворотному включенні.

1. Нижня гранична тектова частота, яка зв'язана з процесом зміщення дірок у пустих потенціальніх ямах за рахунок термогенерації за протяжі десятки мілісекунд. Це приводить до спотворення рівня логічного нуля, записаного у потенціальній ямі. З метою запобігання цьому чину транзистора частота вибирається у діапазоні одиниць - десятки кілогерци.
2. Верхня гранична тектова частота, яка визначається часом переносу заряду з однієї потенціальній ями до другої. Пояснення даних в матеріалі.
3. Спектральність передачі заряду

$$\eta = \frac{(Q_1 t - Q_0 e)_{t=L}}{(Q_1 t - Q_0 e)_L},$$

що показує, яка частина заряду переноситься з однієї потенційної ями i до другої $i+1$. Для якісних ПЗЗ коефіцієнт η наближається до одиниці. Але втрата заряду і, отже, інформації неминуче трапляється за рахунок захоплення дірок поверхневими енергетичними рівнями "пасток", тобто внаслідок дії поверхневої рекомбінації. Тому достатня величина вихідного сигналу може бути одержана при передачі заряду на невелике число тактів /не більше сотні/ і на протязі малого часу. З метою усунення цього недоліку використовують схеми регенерації, що реалізуються за допомогою підсилювачів. Зчитуваний з ПЗЗ сигнал підсилюється, формується його рівень "/1" або "0"/, а потім здійснюється перевідпис цього сигналу в ПЗЗ. З метою тривалого зберігання інформації ланцюжок ПЗЗ замикають у кільце. Регенерація інформаційного заряду звичайно супроводжується виводом інформації, тобто реалізується ПЗЗ з неруйнівним зчитуванням інформації.

Непрограмованікові польові ПЗЗ застосовуються в запам'ятовувальних пристроях ЗОМ, в пристроях перетворення оптичного зображення в електричний сигнал /у телебаченні/, в лініях задержки аналогових сигналів тощо.

5. ТИРИСТОРЫ

5.1. БУДОВА ТА ПРИНЦИП ДІЇ ТИРИСТОРА

5.1.1. Загальні відомості

Тиристором називається електроперетворювальний напівпровідниковий пристрій з трьома або більше $p-n-p$ - переходами, ЕАХ якого має ділянку негативного диференціального спору і який використовується для переключення. Назва тиристор походить від двох слів: *thyra* /гр./ - двері та *sister* /англ./ - спір. В залежності від числа зовнішніх виводів розрізняють двоелектродний пристрій - діністор, триелектродний - триесттор і чотирьохелектродний - біністор. У двох останніх, крім анода і катода, є ще вхідні електроди /відповідно один у тиристорі і два у біністорі/.

Система позначень тиристорів /крім силових/ складається з 6 елементів.

Перший елемент - буква або цифра, що вказує на мате-

рівн виготовлення.

Другий елемент - буква, що визначає різновид тиристора: Н - півдні тиристори /диністори/, У - трієдні тиристори /три-ністори/.

Третій елемент - цифра, що визначає призначення тиристора згідно з табл. 5.1.

Четвертий, п'ятий і шостий елементи аналогічні до відповідних елементів у позначеннях піодів і транзисторів.

Таблиця 5.1

Потужність	Діністори	Триністори		
		незаліпні	заліпні	симетричні
Малої потужності $I_A \leq 0,3A$	I	I	3.	5
Середньої потужності $0,3A < I_A \leq 10A$	2	2	4	6

Умовні позначення тиристорів на схемах показано на рис. 5.1. З точки зору зastosування тиристор - це напівпровідниковий клікч, тобто приклад, основне призначення якого полягає в вимиканні та розмиканні кола під дією зовнішніх сигналів.

Задібло по триністорних клікчах тиристор має два статичних станів - «відкритий», а звичайним внутрішнім опором, а «закритий». а міжним опором. У кожному стані тиристор може перебувати як завгодно часто. Переход від одного стану до іншого відбувається під дією кратковстанового зовнішнього сигналу.

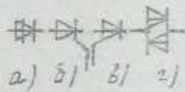


Рис. 5.1. Умовні позначення тиристорів на електронніх схемах: а-діністор; б-триністор з управлінням по катоду; в-триністор з управлінням по аноду; г-симетричний тиристор /симістор/

5.1.2. Діністорний режим

Структура діністора показана на рис. 5.2, а. На рисунку діністор включено до кола з джерелом напруги E_A і навантаженням R_H . Будемо вважати, що верхня р-область чотиришарової структури діністора з'єднана з електродом, то називається анодом, а нижня n -область з'єднана з катодом. Області тиристора називатимемо /зверху донизу/ р-емітер, n -база, р-база, n -смітер.

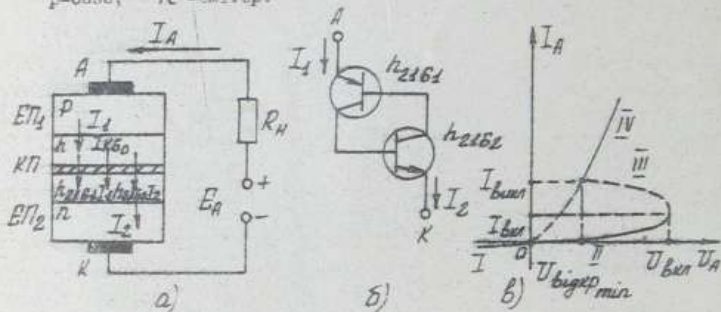


Рис. 5.2. Структура /а/, транзисторна схема заміщення /б/ та ВАХ тиристора у діністорному режимі:

При прикладенні зовнішньої напруги мінусом до анода і плюсом до катода емітерні переходи EP1 та EP2 включаються у зворотному напрямі, і через проміжок протікає малий зворотний струм двох послідовно з'єднаних р-п - переходів /ділянка I на ВАХ рис. 5.2, в/.

Якщо змінити полярність джерела напруги, то переходи EP1 та EP2 включаються у прямому напрямі, а герадній, колекторний переход НП - у зворотному. Через емітерні переходи здійснюється інжеція дірок /через EP1/ і електронів /через EP2/ у відповідні бази. Мейже вся зовнішня напруга падає на великому опорі КП. Збільшення цієї напруги приведе до подальшого зменшення потенціалів бар'єрів EP1 та EP2 і збільшення інжеції через переходи. Дірки, інжеектовані через EP1, дифундуватимуть через n -базу, екстрагуються прискорювачем полям КП до області р-бази і накопичуються там, тому що дальша їх дифузія за-

тримується гальваничним полем EH2 . Аналогічне відбувається і з електронами, які інжектують через EH2 до р-бази. Таким чином, у р-базі накопичується надлишковий позитивний заряд, а в п-базі - надлишковий негативний заряд.

Процес у тиристорі свідчить про з'явлення внутрішнього позитивного зворотного зв'язку. Механізм його дії полягає у наступному. Збільшення інжекції дірок до п-бази через EH1 приводить до накопичення цих дірок у р-базі. Зростання позитивного заряду р-бази приводить до подальшого прямого зміщення EH2 і збільшення інжекції електронів через нього. Не явище, в свою чергу, сприяє зростанню негативного заряду п-бази і дослідковому прямому зміщенню EH1 . Внаслідок цього інжекція дірок з р-емітера через EH1 та більше зростає і т.д.

При прямих напрягах $U_A < U_{\text{бк}}$ тиристор є звичайною, до того опір - це фактично опір КП у зворотному випадку. Деяке зростання струму енола I_A при збільшенні високої напруги U_A на ділянці II пояснюється збільшенням інжекції через переходи EH1 та EH2 при збільшенні на них прямих напруг, а також зменшенням потенціального бар'єра КП внаслідок накопичення надлишкового заряду в базах.

При високій напрузі $U_A = U_{\text{бк}}$ різниця потенціалів між р-та і п-базою за рахунок попереднього накопичення зарядів дорівнює величині зовнішньої напруги на КП. На КП в такому випадку діє нульова результатива напруга, і перехід відкривається. Зідбувається різке зменшення внутрішнього опору тиристора і зростання високого струму, що супроводжується зменшенням прямої напруги на крилалі. Це падіння напруги дорівнює сумі падінь напруг на трьох р-п-переходах, які включені у прямому напрямі /приблизно 0,7В/, падіння напруги на п-базі / 0,12В / і падіння напруги на емітерах /приблизно 0,2-0,3В/. Таким чином, сумарне падіння напруги на включенному тиристорі складає приблизно 1 В. Отже, процес відкриття /закриття/ тиристора полягає в різкому зменшенні опору за рахунок прямого включення КП, збільшенні струму через прямі одночасно з зменшенням падіння напруги. Ці обставини приводять до сформування на РАХ діамістра ділянкою з негативним диференціальним опором /тигнівкою III на рис. 5.2,в/. Після змінчення прямого включення прямоду робоча точка на РАХ переходить на ділянку IV /рис. 5.2,в/. Цей внаслідок багаторезистивного зростання

струму I_A не відбулось рубинування кристалічної структури тиристора, у коло послідовно з приладом і джерелом живлення вклічається навантаження, і тоді струм у колі з відкритим тиристором дорівнює

$$I_A \approx \frac{E_A}{R_N}.$$

Диністор у відкритому стані /ділянка IV на ВАХ/ знаходиться доти, доки струм, що протікає через нього пілтрує у базах недлишкові заряди, які, в свою чергу, забезпечують відкритий стан КП. Зниження струму I_A до величини $I_{\text{баз}}$ приведе до того, що процес рекомбінації у базах почне відбуватись швидше, ніж процес накопичення, і КП знову включиться у зворотному напрямі.

Диністор може бути представлений у вигляді системи двох біполярних транзисторів $p-n-p$ та $n-p-n$ типу /рис. 5.2, а/. На ділянці II ВАХ диністора /рис. 5.2, в/ обидва транзистори перебувають у активному режимі. Збільшення зовнішньої напруги приводить до зростання емітерного струму I_1 $p-n-p$ -транзистора, збільшення його колекторного струму, тобто зменшення його внутрішнього опору. Внаслідок цього зростає позитивний потенціал бази $n-p-n$ -транзистора, що також збільшує емітерний і колекторний струми останнього і, отже, зменшує внутрішній опір $n-p-n$ -транзистора. Тому на базі $p-n-p$ -транзистора зростає негативний потенціал, і транзистор ще більше відкривається. У двотранзисторній схемі рис. 5.2, б, яка є схемою заміщення реального тиристора, діє таким чином, позитивний зворотний зв'язок. При деякій зовнішній напрузі $|U_A = U_{\text{баз}}|$ обидва транзистори переходят у режим насищення, і опір схеми значно знижується.

Позначивши коефіцієнт передачі струмів піх транзисторів через h_{2151} та h_{2152} , одержимо, що через КП у стані зворотного включення тече струм

$$I_2 = h_{2151} I_1 + h_{2152} I_3 + I_{\text{баз}} , \quad /5.1/$$

де I_1, I_2, I_3 – струми ЕІІ, КП та ЕІІ відповідно.

Оскільки всі переходи тиристора з'єднані послідовно, то $I_1 = I_2 = I_3 = I_A$. Тоді

$$I_A = \frac{I_{\text{баз}}}{1 - (h_{2151} + h_{2152})} . \quad /5.2/$$

Значення коефіцієнтів h_{2151} і h_{2152} , як видно, залежать від струмів емітера I_1 та I_2 /рис. 5.3/. Поки $h_{2151} + h_{2152} < 1$, дій- містор знаходитьться у виключеному стані /ділянка II на ВАХ/. При $U_A = U_{BKA}$ сума $h_{2151} + h_{2152}$ дорів- нізвичайне одиниці, і починається за фор- мулою /5.2/ лавинноподібний процес збіль- шення струму I_A .

Лавинний, стробкоподібний про- цес включення триистора вимикається дією позитивного зворотного зв'язку.

Величина напруги U_{BKA} буде тим більша, чим меншими будуть почат- кові значення коефіцієнтів передачі струмів емітера h_{2151} та h_{2152} .

Для зменшення початкових значень цих коефіцієнтів ширину однієї з баз роблять значно більшою дифузі- ної донесених носіїв заряду. Крім того, щоб забезпечити досить велике значення U_{BKA} , одим

з емітерних переходів шунтуєть- ся розподіленим опором бази /рис. 5.4/. В цьому випадку змен- шення коефіцієнта передачі стру- му забезпечується наступним чином.

При малих напругах на триисторі може весь струм протікати через шунтуваний опір бази, обмежений правий $P-n$ - переходом. У відкритому стані діністора опір переходу 3 малий, і струм проті- катиме через цей перекід, обмі- нечши шунтуваний опір бази. При цьому величина h_{2152} різко зростає. Наявність більш сильної залежності коефіцієнта передачі від струму анода приводить до підвищення стабіль-ності параметрів РАХ діністора.

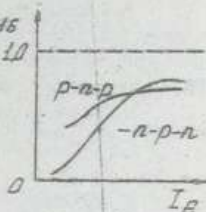


Рис. 5.3. Залеж-
ності $h_{2151} = f(I_E)$,
 $h_{2152} = f(I_E)$

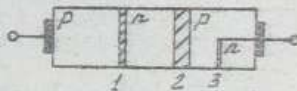


Рис. 5.4. Діністор
з зашунтованим емі-
терним переходом

5.1.3. Триністорний режим

Триністор відрізняється від діністора наявністю третього електрода, з'єднаного з базовою областю. Йо обставине дозволяє управляти величиною напруги включення $U_{бкл}$, змінюючи струм у колі керуючого електрода.

Керуючий електрод може з'єднуватися з будь-яким базовим тиристором /рис. 5.5, а, б/. Збільшуючи струм управління I_y ,

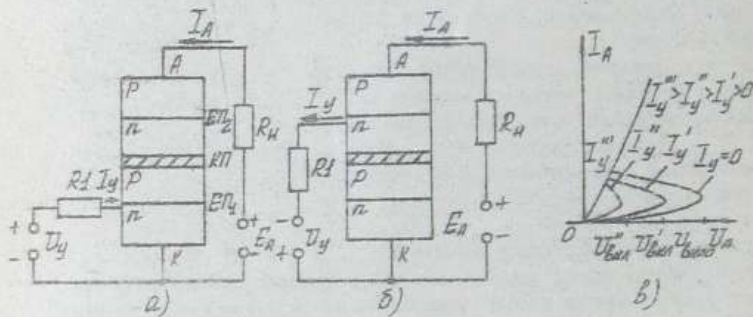


Рис. 5.5. Структура триака: а - з управлінням по катоду; б - з управлінням по аноду; в - сім'я ВАХ триака

можна збільшити коефіцієнт передачі струму h_{225} відповідного емітера і це приводить до того, що рівність $h_{225} + h_{115} = 1$ виконується при меншій анодній напрузі, що відмінення тиристора відбувається при меншому значенні $U_{бкл}$ /рис. 5.5, в/. Сюжно, що симетрія, то виключення надлишкових зарядів у базовій структурі відбувається швидше, ніж у випадку діністора, тому що джерело напруги управління у колі будь-якот з бази прискорюється через відповідний ПІ.

Струм з напруга кола управління невеликий, струм у анодному колі може досягати одиниць ампер /у тиристорах середньої потужності/ або десятків - сотень ампер /у силових тиристорах/ при анодних напругах від десятих - сотень вольт до тисяч вольт. Тому триаки - це сверідкі підсилювачі потужності з коефіцієнтом підсилення в 10^4 - 10^5 .

Триністори серед інших тиристорних структур мають найбільше практичне застосування в електроніці. Для більш спрощеного управління тиристором керуючий електрод з'єднується з базою, що має меншу ширину, оскільки кофіцієнтом передачі струму емітера саме такої транзисторної структури / $n-p-n$ - на рис. 5.5,а і $p-n-p$ - на рис. 5.5,б/ легше управляти, ніж кофіцієнтом передачі транзистора з товстою базою.

5.1.4. Симістори

Симетричний тиристор, або симістор, - це тиристор, який має практично однакові ВАХ при різних полярностях прикладеної напруги. Симістор являє собою багатошарову структуру $n-p-n-p-n$ типу, що складається з п'яти напівпровідникових областей, типи провідності яких чергуються і які утворюють чотири $p-n$ -переходи /рис. 5.6/.

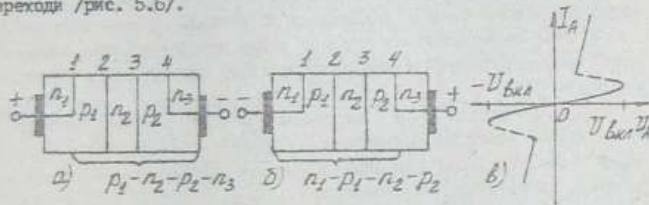


Рис. 5.6. Структура /а,б/ та ВАХ /в/ симетричного тиристора

Якщо до такого тиристора прикладти напругу плюсом до області n_1 , а мінусом до області n_3 /рис. 5.6,а/, то перехід 1 включиться в зворотному напрямі, і струм, протікаючи через нього, буде дуже малий. Робочим частинам у такому режимі буде $p_1-n_1-p_2-n_3$ -структура, в якій протікають процеси, звичайні для діодітора.

Якщо зовнішню напругу прикладти плюсом до області n_3 , а мінусом до області n_1 , то в зворотному напрямі включиться перехід 4, і робочим частинам симістора буде діодор структури $n_1-p_1-n_2-p_2$ /рис. 5.6,б/.

Таким чином, симістор може бути представлений у вигляді двох тиристорів, підключені паралельно і наскрізь один одному. ВАХ симістора показана на рис. 5.6,в.

5.2. СПОСОБИ КОМУТАЦІЇ ТИРИСТОРІВ

5.2.1. Включення тиристорів

Крім описаного у попередньому параграфі способу включення тиристора шляхом повільного збільшення анодної напруги до величини U_{Bkl} , існують й інші способи.

Включення за допомогою струму управління

Цей спосіб уможливлює відкриття тиристора у триністорному режимі у разі, коли на аноді приладу є дієва напруга $|U_A| < U_{Bkl}$. Тоді, збільшуючи струм I_U , можна включити тиристор. Найбільш поширенням способом управління є імпульсний спосіб. При цьому процес накопичення нерівноважних носіїв відбувається не миттєво, і тому для включення тиристора необхідно, щоб імпульс струму управління мав певну тривалість і амплітуду. Розглянемо випадок управління по методу.

Час перееключання тиристора можна розділити на два інтервали, що відповідають різним законам зміни струму через тиристор (рис. 5.7).

Час задержки t_3 визначається часом дифузії інжектованих з N -емітера електронів через р-базу до КП. Струм через КП і, отже, через тиристор зростатиме відчутно лише тоді, коли інжектовані електрони досягнуть КП. На діаграмі рис. 5.7-я проміжок часу, за який струм збільшується до 0,1 від усталеного значення (або час, за який анодна напруга на тиристорі знизиться до 0,9 від свого початкового значення).

Час нарощання $t_{\text{нар}}$ зв'язаний з інерцією процесу накопичення нерівноважних носіїв заряду в базах тиристора. За цей час струм анода різко зростає до величини 0,9 I_A , а напруга на сноді зменшується від 0,9 U_A до 0,1 U_A . Цей інтервал часу відповідає перебуванню робочої точки на ділінці негативного диференційного опору /ділянка III/

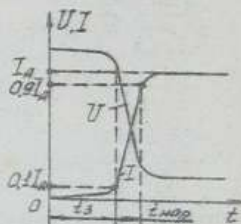


Рис. 5.7. Переходні процеси струму і напруги при включення тиристора

на ВАХ рис. 5.2,в/, і тому процес переключення має регенеративний, левиноподібний, нестійкий характер. Цей процес обов'язково закінчується зміною стану приледу, навіть якщо в цей час припиниться дія імпульсу управління. Саме тому тривалість імпульсу управління може вибиратись у межах $t_3 < t_{\text{чв}} < t_3 + t_{\text{чар}}$. Закінчення переключення тиристора відповідає моменту, коли знак напруги на КП зміниться на протилежний. Реальна тривалість імпульсу управління досягає 15-20 мкс. Після закінчення імпульсу тиристор перебуватиме у відкритому стані і надалі, якщо $U_A > U_{\text{бумеран}}$, або $I_A > I_{\text{бкл}}$ /див. ВАХ рис. 5.2,в/, тобто, якщо робоча точка буде на IV ділянці ВАХ.

Процес відкривання тиристора за допомогою імпульсу струму управління має ще й інші особливості. Спочатку відкривання КП відбувається в вузькому каналі біля керуючого електрода, осінком більша частина амплітуди імпульсу управління падає на розподіленому опорі бази, і тому інжекція через ЕІ збільшується не на всій його площині, а на ділянці біля керуючого електрода. Виникне струмопровідний "штур", який може привести до локального перегріву тиристорної структури. Лише потім за рахунок дифузії носіїв розширяється на всю площину переходу.

Включення тиристора за допомогою імпульсу високої напруги

При імпульсному управлінні по аноду також спостерігається явище, коли напруга включення зменшується в порівнянні з напругою включення у неперервному режимі. Тиристор включтається за допомогою імпульсу високої напруги, амплітуда якого менша за величину $U_{\text{бкл}}$ в режимі, коли напруга на аноді тиристора зростає повільно. Це явище зумовлене дією бар'єрної емності КП, струм через яку під час перезаряду дорівнює

$$I_C = C_K \cdot \frac{dU_A}{dt} \quad /5.3/$$

і буде тим більший, чим більша швидкість наростання високої напруги на тиристорі /ефект dU_A/dt /. Цей струм, протікаючи через емітерні переходи приладу, викликає збільшення коєдінантів передачі h_{21B1} та h_{21B2} , і тоді сума $h_{21B1} + h_{21B2}$ досягає одиниці при меншій напрузі. Інакше кажучи, дія емісіонного струму КП I_C аналогічна до дії струму

управління у траністорі.

5.2.2. Виключення тиристорів

Виключення тиристора шляхом розриву анодного кола

Тиристор переходить до виключеного стану тільки після розсмоктування нерівноважних носіїв заряду в базах. Якщо до завершення процесу виключення знову до тиристора прикладти анодну напругу, прилад опиниться у виключеному стані. Тому, оскільки процес розсмоктування носіїв відбувається не миттево, для виключення тиристора потрібен деякий час.

При виключенні тиристора шляхом розриву анодного кола розсмоктування відбувається тільки внаслідок рекомбінації, і тому час виключення тиристора великий і залежить від тривалості життя носіїв заряду.

Виключення за рахунок зміни полярності анодної напруги

Очікуваний виграв часу при виключенні тиристора даним способом відбудеться лише при великих зворотних напругах /рис. 5.8/. Це зумовлено тим, що для прискорення процесу розсмоктування носіїв у базах треба забезпечити їх ефективну екстракцію через емітерні переходи.

Для цього треба включити ТІІ і ТІІІ у зворотному напрямі і значно підвищити їх потенціальні бар'єри. Зробити це одразу, в момент подачі на анод зворотної напруги, неможливо, тому що поки носії у базах не розсмокталися, негативний заряд у N_2 -базі і позитивний надлишковий заряд у P -базі підтримуватимуть емітерні переходи у відкритому стані. При помірних зворотних напругах практично че відбувається підвищення потенціальних бар'єрів ТІІ та ТІІІ. Крім того, перезаряд бар'єрної симості НІІ також заважає звільні зміні стану тиристора. Саме тому звичайно тиристор ви-

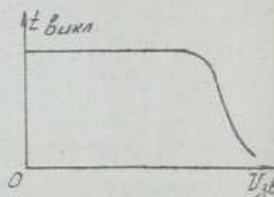


Рис. 5.8. Залежність часу виключення тиристора від величини зворотної напруги

включуючи шляхом подачі великої зворотної напруги на анод.

Виключення за допомогою подачі напруги на керуючий електрод /за допомогою струму управління/

Для виключення тиристора необхідно відвести нерівноважні носії заряду з бази, з'єднаної з керуючим електродом. Анодний струм, що протікає через це відкритий тиристор, постійно підвищує кількість нерівноважних носіїв заряду в базах. Тому значення струму управління /викликаного напругою на керуючому електроді зворотної полярності/, яке необхідне для виключення тиристора, залежить від значення анодного струму через тиристор /рис. 5.9/.

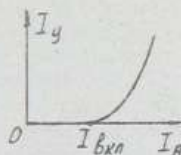


Рис. 5.9. Залежність зворотного струму управління, необхідного для виключення тиристора, від прямого анодного струму

6. ОПТОЕЛЕКТРОННІ НАТІВТРОВІЛІЧКОВІ ПРИЛАД

6.1. ЗАГАЛЬНІ РІДКОСТІ

Електронні пристрої та системи, в яких використовують разом з традиційними електричними ефектами неелектричні, лежать в основі нового напряму в електроніці – оптоелектроніки.

Оптоелектроніка – це область електроніки, в якій вивчаються як оптичні, так і електронні явища в кристалах, а також розглядається питання перетворення оптичних сигналів в електричні і навпаки.

Практичною задачею оптоелектроніки є створення оптоелектронних приладів, до яких належать різноманітні джерела світла, фотоприймачі, індикатори, лінії зв'язку, оптроки тощо. Всі ці прилади знаходять широке застосування в області промислової електроніки.

Розглянемо деякі приклади оптоелектронних напівпровідникових пристрій.

6.2. ВИПРОМІНЮЧІ ДІОДИ

Напівпровідниковий випромінюючий діод /світлодіод/ - це напівпровідниковий пристрій з одним або кількома електричними переходами, призначений для безпосереднього перетворення електричної енергії в енергію некогерентного світлового випромінювання.

Відповідно до ГОСТ ІСО 862-72 першим елементом позначення світлодіодів є буква або цифра, що вказує на матеріал виготовлення /А /І/ - арсенід галію/, другим елементом є буква „Л”. Значення третього елемента позначення світлодіодів наступні: 1 - діоди інфрачервоного діапазону; 2 - оптичного діапазону; 3 - діоди з яскравістю свічення менше $500 \text{ kcd}/\text{м}^2$; 4 - з яскравістю більшою $500 \text{ kcd}/\text{м}^2$. 4-я, 5-я і 6-я елементи позначення - такі ж, як у звичайних діодів.

Основний фізичний процес світлодіодів - це випромінювання рекомбінації у базі. Ймовірність якої зростає при підвищенні концентрації неосновних нерівноважних носіїв, тобто при прямому включенні $p-n$ - переходу. Ця рекомбінація, на відміну від невипромінюваності, супроводжується виділенням енергії у вигляді квантів світла. Для виготовлення світлодіодів застосовують матеріали з малою ймовірністю невипромінюваності рекомбінації /наприклад, сполуки InSb ,

$\text{GaSb}, \text{GaAs}, \text{GaP}, \text{InP}, \text{SiC}$ тощо/. Свічення збуджується в інфрачервоному і видимому діапазонах за допомогою змінного або постійного струму при нагрузці $- U > U_{\text{ryc}}$, де

$U_{\text{ryc}} \approx U_{\text{kr}}$ /порогова напруга діодного контактного різниці потенціалів/. Будова світлодіода показана на рис. 6.1. З метою підвищення чутливості відбиття випромінююча поверхня виконується у формі напівсфери. Яскравість свічення маємо лінійно залежить від струму через світлодіод /рис. 6.2/.

Колір свічення залежить від матеріалу виготовлення /чи-

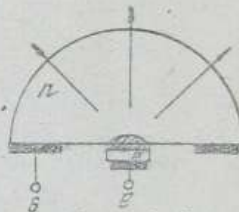


Рис. 6.1. Будова світлодіода

рини забороненої зони, природі центрів рекомбінації тощо/. Чим більше ширина забороненої зони, тим менша довжина хвилі світлового випромінювання. Так, суміш $GaAs + GaP$ дас червоне свічення, карбід кремнію SiC - червоно-оранжеве або ковте. Суміш GaP та YnF - ковте або ково-зелене свічення.

Використовуються світлодіоди з перестрійним колірором свічення /рис. 6.3/, які мають два $P-n$ -перехіди, утворені різними домішками. Це забезпечує генерування одним переходом зеленого світла, а другим - червоного. Регульованням струмів через переходи можна змінювати колір свічення.

Світлодіоди широко використовуються для світлової інженерії в різноманітних електронних пристроях. Переваги інженерії не світлодіодах - іскраве й чисте свічення, зручність управління, економність, довговічність тощо.

Крім окремих світлодіодів, в напівпровідникових індикаторах застосовується дві основні конфігурації висвічуваних елементів: семисегментна та матричне /рис. 6.4/. Семисегментна конфігурація складається з 7 прямокутних напівпровідникових пластин, елементарні ділянки яких являють собою світлодіоди. Таке конфігурація дозволяє відтворювати всі десять цифр і кілька букв. Матрична конфігурація складається з ячеек, кожна з яких має 7×5 точок і дозволяє відтворювати всі цифри, букви і знаки стандартного коду для обміну інформацією.

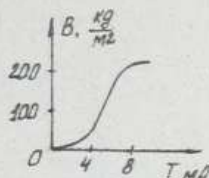


Рис. 6.2. Яскравіс-на характеристика світлодіода

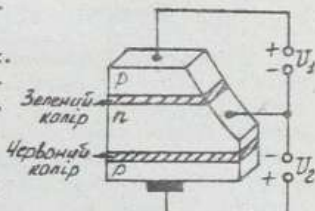


Рис. 6.3. Структура світлодіода з перестрійним коліром свічення

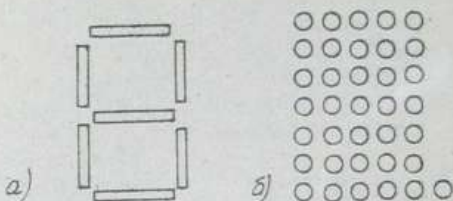


Рис. 6.4. Варіанти висвічувуваних за допомогою світлодіодів елементів:
а - семисегментна конфігурація;
б - матрична конфігурація

6.2. НАПІВПРОВІДНИКОВІ ФОТОПРИЙМЧІ

Фотоприймчі призначені для перетворення світлових сигналів в електричні. В напівпровідникових фотоприладах використовується внутрішній фотоefект, який полягає в тому, що при спроміненні електронами напівпровідникового кристала набирають додаткової енергії, що необхідна для вивільнення Іх з ковалентних зв'язків. Тому в напівпровідниках з'являються додаткові носії електричного заряду, які збільшують електропровідність.

6.3.1. Фоторезистори

Фоторезисторами називають напівпровідникові прилади, електричний опір яких змінюється під дією світла. Конструктивно фоторезистор складається з діелектрика 3, на який нанесено світлоочутливий шар напівпровідника 1, і зовнішніх електродів 2 /рис.6.5, а/.

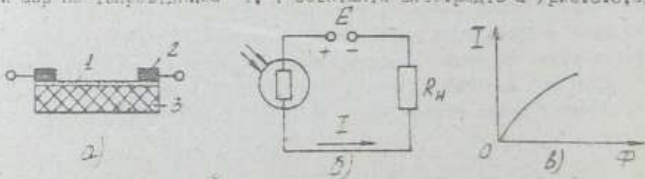


Рис. 6.5. Будова /а/, схема з'єднання /б/ та статична характеристика /в/ фоторезистора

Схема з'єднання фотодіода до електричного кола показана на рис. 6.5.б. Включення джерела Е не залежить від полярності, оскільки фотодіод не має рентгенівських властивостей.

Вихідним матеріалом виготовлення світлоочутливого шару фотодіода є PbS , $CdSe$ або CdS .

При відсутності світла /світловий потік $\Phi=0$ / фотодіод має великий темновий опір, і при прикладенні зовнішньої напруги через нього протікає малий темновий струм I_t . Під дією світла опір фотодіода зменшується, і через нього протікає струм

$$I = C\sqrt{\Phi} + I_t, \quad /6.1/$$

де C - коефіцієнт пропорційності;

Φ - світловий потік;

I_t - темновий струм /темновий опір фотодіода - сотні кілоом/.

Залежність $I = f(\Phi)$ при $E = \text{const}$ відповідно до формули /6.1/ показана на рис. 6.5.в.

При низьких рівнях освітлення залежність $I = f(\Phi)$ можна вважати лінійною

$$I = S_\Phi \Phi + I_t, \quad /6.2/$$

де S_Φ - інтегральна чутливість фотодіода.

Недоліком фотодіодів є недостатність характеристики $I = f(\Phi)$ та мала швидкодія /граничні частоти приладу не перевищують 1кГц/. Фотодіоди застосовуються як оптоелектронні датчики, а також як фотоприймачі в оптронах.

6.3.2. Фотодіоди

У фотодіодах кристал НП обернений до скляного відно, через яке надходить світловий потік. Під дією світла на $p-n$ переході фотодіода виніслодок явища внутрішнього фотоефекту в областях біля переходу відбувається додаткова генерація пар "електрон-іон". Під дією дифузійного поля $p-n$ - переходу фотодіода переміщується до області n , а фотогенератори - до області p . При цьому створюється фотоЕРС $E_F = \phi_0 I_F / P$, залежність якої від світлового потоку показана на рис. 6.6.

Під дією світла фотоЕРС у зовнішньому колі фотодіода протікає фотострум I_F , що збуряється за напрямом зі зворотним

струмом $P-n$ - переходу /рис.6.7/. Оскільки фотострум протікає незалежно від струму, який виникається зовнішнім джерелом напруги, то вираз для повного струму може бути записаний у вигляді

$$I = I_S (e^{\frac{U}{nV} - 1}) + I_F, \quad /6.3/$$

де I_S - струм насиження /екстракши/; $P-n$ - переходу;

U - зовнішня напруга;

I_F - фотострум.

Для фотодіода $P-n$ - перехода еквівалентна додатковому зворотному зміщенню переходу, наслідком чого є збільшення зворотного струму фотодіода на величину I_F .

Схема РАХ фотодіода показана на рис. 6.3. Оскільки фотодіод є пряма напруга включеної назустріч одної одині, то при їх рівності струм діода дорівнює нулю, що відповідає режимові холостого ходу. ЕДС холостого ходу при $I = 0$ можна знайти з формули /6.3/

$$E_P = \Phi_T \ln \left(\frac{I_F}{I_S} + 1 \right).$$

Ця фотодіод має зображення з РАХ рис. 6.6.

Фотодіод використовується в двох режимах: вентильного фотодіода /рис. 6.5/ та фотодіодного /рис. 6.10/. У першому режимі фотодіод використовується як джерело струму, другим, генеруючий ЕДС

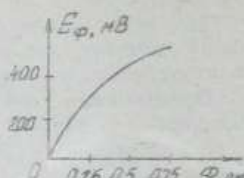


Рис. 6.6. Залежність фотоДІС від світлового потоку

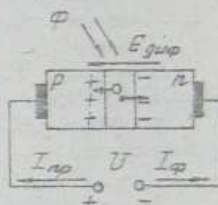


Рис. 6.7. До пояснення принципу дії фотодіода

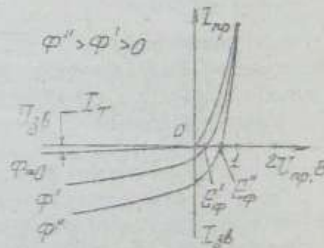


Рис. 6.8. Схема РАХ фотодіода

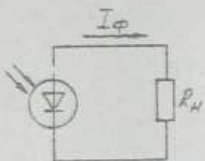


Рис. 6.9. Режим вентильного фотоэлемента

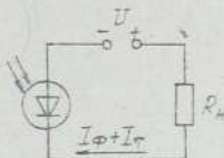


Рис. 6.10. Фотодіодний режим

I_ϕ , в чутливому індикаторі випромінювання або сонячній батареї. ФотоЕРС може досягти 1В. У цьому режимі робоча точка пересувається вздовж осі I_ϕ на ВАХ рис. 6.8 в залежності від інтенсивності світла.

У другому режимі /рис. 6.10/ фотодіод працює на зворотній вітці ВАХ як фоторезистор, спір якого залежить від світлового потоку. Робоча точка може займати будь-яке положення між осмію U_ϕ , I_ϕ в залежності від напруги джерела U і світлового потоку Φ .

Фотострум залежить не тільки від потоку Φ , але й від довжини хвилі світлового випромінювання, яке діє на $p-n$ -перехід. Цей факт ілюструє спектральна характеристика рис. 6.11.

Параметрами фотодіода є:
темновий струм I_T - струм, що притикає через діод при робочій напрузі і відсутності світла; робоча напруга U_{ph} - напруга на діоді у фотодіодному режимі;

$$S_\phi = I_\phi / \Phi \quad - \text{інтегральна чутливість.}$$

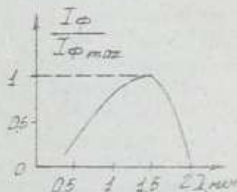


Рис. 6.11. Спектральна характеристика германійового фотодіода

6.3.1. Фотоприймачі з внутрішнім підсиленням

До таких фотоприймачів належать фоторезистори та фототранзистори.

Крім перетворення світлової енергії в електричну з утворенням фотоструму, як у фотодіодах, Фототранзистор є й підсилювачем фотоструму.

Розглянемо роботу фототранзистора у ССЗ в режимі з відключеною базою / $I_B = 0$ / рис. 6.12/. Якщо $I=0$, то через фототранзистор протікає невеликий темновий струм.

$$I_{\tau} = I_{\times 50} (h_{\text{eff}} + 1).$$

При освітленні області бази через віконце $\mu > 0$ в ній генеруються нерівноважні пари носіїв заряду - фотоелектрони та фотодірки, які дифузують до ЕІ та КІ. При цьому поле КІ розділяє заряди: електрони рухаються до n^+ -колектора, дірки - до р-бази. У колі колектора під дією цих електронів зростає струм на величину I_{ϕ} . Дірки створюють у базі позитивний заряд, який змінює ЕІ у прямому напрямі і викликає ін'єкцію електронів. Емисія дірок ін'єкції електронів через ЕІ, іх дифузія через базу і екстракція через КІ струм колектора додатково зростає на величину $h_{42} I_{\phi}$. Тобто фотодірки у базі відіграють роль входного струму бази.

Загальний колекторний струм
батареї

$$I_K = I_{\varphi} + h_{2IE} I_{\varphi} + I_T = (1 - h_{2IE}) I_{\varphi} + I_T . \quad /5.5/$$

Сім'єю ВАХ фототранзистора $I_C = f(U_{CE})/\phi$ є лінії, показані на рис. 6.12, б. Збільшення освітлення фототранзистора проводить згідно з формулою 6.5/ до зростання колекторного струму. Інтегральна чутливість фототранзистора S_f в $I_C + \frac{I_{C125}}{I_{C125}}$ раз більша, ніж у фотодіода. Це пояснюється тим, що у фототранзистора струм I_{C1} підсилюється в $I_C + h_{v-1}$ раз.

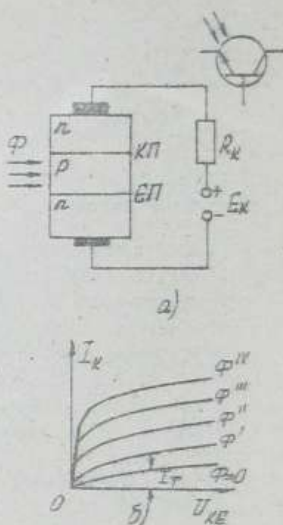


Рис. 6.12. Структура і схема виключення фототранзистора /a/, статичні вихідні характеристики /b/

Фототиристори /рис. 6.13/ є фотоприймачами з включовою пороговою характеристикою і застосовуються для переключення значних струмів і напруг. ВАХ з відкривальним дією світлового потоку Φ показана на рис. 6.13, б. Засвічення базової області тиристора сумісне з генерацією надлишкових носіїв заряду, що приводить до переключення чотириважової структури з закритого стану у відкритий так само, як це буває у триністорі при переключенні керуючим струмом.

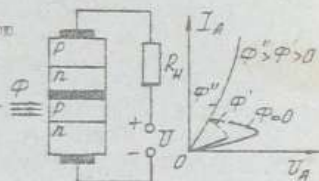


Рис. 6.13. Структура, схема включення /в/ та ВАХ /б/ фототиристора

6.4. ОПТРОНИ ТА ЇХ ЗАСТОСУВАННЯ

Оптрон, або оптострікер, – це оптоелектронний прилад, що містить у собі конструктивно об'єднані і розміщені в одному корпусі джерело і приймач вимірювання з певним видом оптичного й електричного зв'язку між ними.

В електронних схемах оптрон виконує функцію елемента зв'язку, в одній з ланок которого інформація передається оптичним зв'язком. Якщо між компонентами оптрона створити електричний зворотний зв'язок, то оптрон стає активним приладом, придатним для підсилення і генерування електричних і оптических сигналів.

Приклад будови резисторного оптрона показано на рис. 6.14. Як джерело світла в ньому використовується світлодіод 1, як фотоприймач – фоторезистор 3 у вигляді спресованої таблетки. Для зменшення емісійного зв'язку між джерелом світла та фотоприймачем розміщується прозорий електростатичний екран 4. Внутрішня частина оптрона звивається оргалом або епоксидною смолою, які звичається прилад від впливу зовнішнього середовища і відіграють роль світловода. Герметичний металевий корпус 2 зовні нагадує корпус простого транзистора.

Джерело і приймач світла в оптроні мають бути спектрально узгоджені між собою. У оптичному видимому діапазоні, застосовуються світлодіоди на основі GaP або SiC і фотопре-

зистори на основі селеніду мідію $CdSe$ / або сульфіду мідію CdS /.

Проте оптичне середовище в оптроні може створюватись не лише з прозорого компаунда на основі полімерів. Для одержання високої розв'язки виходу і входу використовуються волоконні світловоди у вигляді нитки з прозорого діелектрика. Світловий промінь від джерела викримовання потрапляє в торець світловоду, і після багаторазового відбиття від бічних стінок він виходить з іншого кінця світловоду, зазивши малого затухання. За допомогою вспомінного світловоду Аокіха перещача сигналу управління на великий відстань з високою електричною розв'язкою і завадостійкістю.

Схема включення діодного оптрана показана на рис.6.15. Принцип дії оптрана полягає в тому, що під дією вхідного сигналу /сигналу управління/ змінюється інтенсивність світлового потоку від випромінювача, і це приводить до зміни внутрішнього

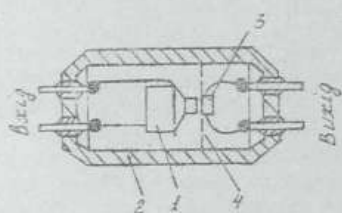


Рис. 6.14. Будова резисторного оптруна:

1- світлодіод; 2- металевий корпус; 3- фоторезистор; 4- електростатичний екран

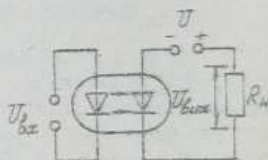


Рис. 6.15. Схема включения логического оптимизатора

спору фотоприймача Мотодісде/, струму у зихідному колі і наступно, як зникається з навантаження $\Omega_{\text{н}}$.

До основних параметрів оптимізації належать:

Коэффициент передачи $K = \frac{U_{\text{вых}}}{U_{\text{вх}}}$

СВЕДЕНИЯ

On the road to recovery - Ro & T's CM

enriched products Co. Inc.

Переваги оптронів:

1. Можливість управління високими напругами за допомогою напруг низьких завдяки високій електричній ізоляції / $k_p > 10^5 \text{ Ом}$ /.
2. Широка смуга пропускання /від постійної складової до гіггерца/.
3. Фізична та конструктивна різноманітність; широта функціональних можливостей.

Оптронам властиві й деякі недоліки. До них належать висока споживана потужність, сильна температурна залежність характеристик, складність виготовлення, високий рівень власних шумів.

В залежності від виду фотоприймача розрізняють /рис. 6.16/ діодні, резисторні, транзисторні, тиристорні оптрони.

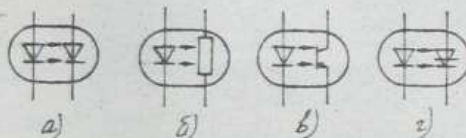
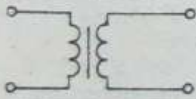
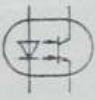


Рис. 6.16. Схемні позначення різновидів оптронів:
а - діодний; б - резисторний; в - транзисторний;
г - тиристорний

Швидкий розвиток оптоелектроніки зробив можливим у багатьох випадках замінити елементи електронних схем оптронами. Деякі приклади такої заміни наведені у табл. 6.1.

Таблиця 6.1

1	Електрорадіокомпонент	2	3
1	2		3
I.	Імпульсний трансформатор		

1	2	3
2.	Перемикач	
3.	Змінний резистор	
4.	Потенціометр	
5.	Змінний конденсатор	

7. ЕКСПЛУАТАЦІЙНІ ОСОБЛИВОСТІ НАПІВПРОВІДНИКОВИХ ПРИЛАДІВ

7.1. ТЕМПОВІ РЕЖИМИ І ТЕМПОВИЙ РОЗРАХУНОК НАПІВПРОВІДНИКОВИХ ПРИЛАДІВ

7.1.1. Темповообмінний прилад - навколошне середовище

Надійність роботи приладу визначається температурою: чим вища температура структури T_s , чим сильніші й різкіші коливання температури, тим нижча надійність.

Здатність напівпровідникового приладу /НПВ/ короткочасно чи тривало витримувати дію підвищеної температури або різкі змі-

ни температури називається теплостійкістю. При порушенні теплостійкості температура структури НПЗ досягає свого граничного значення T_{\max} , і починаються наоборотні зміни параметрів.

Джерелом тепла у НПЗ є так званий активний елемент - елемент конструкції, через який протікає струм, на якому розсіється електрична енергія; ця енергія перетворюється в тепло і визначає тепловий режим приладу. Між активним елементом НПЗ і навколошнім середовищем /рештою об'єму електронного пристроя/ виникає тепловий потік і розвиваються процеси, спрямовані на установлення теплової рівноваги, - це і є теплообмін. Розрізняють три механізми теплообміну у системі НПЗ - середовище: тепlopровідність, конвекцію і випромінювання.

Тепlopровідність

У активному елементі НПЗ тепlopровідність забезпечується за рахунок коливань атомів кристалічної решітки. Тепловий потік здебільшого спрямований в бік масивної основи корпусу НПЗ.

Тепловий потік

$$Q = -\lambda \operatorname{grad} T dS, \quad /7.1/$$

де λ - коефіцієнт тепlopровідності;
 T - температура;
 S - площа ізотермічної поверхні, через яку проходить потік.

З рівняння /7.1/ випливає, що тепловий потік Q пропорційний до температурного градієнта $\operatorname{grad} T$ і спрямований у бік зниження температури.

Конвекція

Конвекція у процесі теплообміну - це переміщення макроскопічних елементів середовища /теплоносія/ з одночасним переносом тепла. Конвекція спостерігається лише в рідинах і газах.

Вільна конвекція має свою причину неоднорідність мас теплоносія за рахунок різниці температур. Вимушена конвекція теплоносія викликається вентилятором, насосом тощо. Рух теплоносія при цьому може бути ламінарним /без перемішування мас теплоносія, здебільшого за рахунок тепlopровідності/ і турбулентним /з перемішуванням мас теплоносія/.

Тепловий потік конвекції

$$Q = \lambda_k S (T - T_{\text{ср}}), \quad /7.2/$$

λ_k - коефіцієнт конвективного теплообміну;

T - наявна температура НП;

$T_{\text{ср}}$ - температура навколошнього середовища.

Випромінювання

Теплове випромінювання - це некогерентне випромінювання електронів та іонів речовини у процесі хаотичного теплового руху. У НП випромінене поверхня тіла. Перенос тепла випромінюванням є найбільш звичковий механізм теплообміну. Тепловий потік випромінювання визначається за формулою

$$Q = \varepsilon S f(\Delta T) = \varepsilon S C_0 [(T/100)^4 - (T_{\text{ср}}/100)^4], \quad /7.3/$$

де ε - коефіцієнт випромінювання поверхні тіла;

$C_0 = 5,67$ - коефіцієнт випромінювання абсолютно чорного тіла.

При тепловому розрахунку НП ураховуються лише стаціонарні /усталені/ теплові режими, оскільки саме в усталеному температурному режимі температура структури досягає максимального значення.

7.1.2. Тепловий опір та теплова ємність

При міжісному аналізі теплових процесів у НП використовують електричні схеми заміщення приладів, створені на основі електротеплового аналогії. За цим аналогієм тепловий потік Q можна представити у вигляді еквівалентного струму I , температуру T - як потенціал Φ . Аналогічно електричному опору $R = \Delta \Phi / I$ можна звести тепловий опір $R = \Delta T / Q [K/Bm]$, або $R = \Delta T / P$, де P - потужність, що чисельно дорівнює величині теплового потоку. Подібно тому як електричний заряд може накопичуватись в електричній ємності, так і тепловий потік збирється в теплоємності локальної області.

Міттєвий /базінергійний/ за'язок між тепловим потоком і перепадом температури в деякій області НП моделюється на схемі заміщення тепловим спорудж. R . Інергійний за'язок між температурою і залишком теплової енергії у даній області відображається на схемі заміщення теплорізистою C .

В режимі постійного струму, коли не виникає струм по русло-
ві через прилад, але є потужність та температура структури постійні, змінною є та сама енергія в ділянках структури, де місцями не мікшичуться, і теплопровідність не сумі-
жніх зон не залежить.

Тепловий опір теплопровідності можна знайти за формулами

$$R = \Delta T / P = \ell / \alpha S. \quad (7.4)$$

Тепловий опір конвективного теплообміну

$$R = 1 / (\alpha_k S), \quad (7.5)$$

де

$$\alpha_k = A_1 [(T - T_{\text{ср}}) / \ell^5]^{1/6} \quad (7.5, a)$$

для ламінарного руху теплоносія;

$$\alpha_k = k A_2 (T - T_{\text{ср}})^{1/3} \quad (7.5, b)$$

для турбулентного руху теплоносія.

В формулах (7.5, a) і (7.5, b) A_1 і A_2 - коефіцієнти, що характеризують стан теплоносія при температурі $T = 20^\circ \text{C}$ $\ell = 0,5 \text{ m}$ $\Delta T_{\text{ср}} / \text{P}$; $k = 0,7-1,3$ - коефіцієнт, що залежить від просторової орієнтації поверхні теплообміну; ℓ - характеристичний розмір поверхні. Значення коефіцієнтів A_1 і A_2 для погрівачів і води наведені у табл. 7.1.

Таблиця 7.1

Теплоносік	Температура $T = 20^\circ \text{C} / \Delta T_{\text{ср}} / \text{P}$, $^\circ \text{C}$									A_1
	0	20	40	60	80	100	120	140	160	
Повітря	0,291	0,265	0,3	0,306	0,37	0,375	0,32	-	-	
Вода	0,4	13,1	15,7	17,6	19	20	-	-	-	A_1
Повітря	1,69	1,61	1,53	1,45	1,39	1,33	1,28	1,23	1,18	
Вода	102	198	290	368	425	480	-	-	-	A_2

Тепловий спір випромінювання дорівнює

$$R = \Delta T / Q = (T - T_{\text{ср}}) / \varepsilon S f(\Delta T), \quad /7.7/$$

де

S - площа поверхні випромінювання;
 $f(\Delta T)$ - функція, вказана у формулі /7.3/.

7.1.3. Тепловий зворотний зв'язок у напівпровідникових приладах

Виділення тепла в НПП під час його роботи викликає зміну температури; температурна залежність параметрів структури приводить до зміни електричного режиму приладу, змінюється електрична потужність, що спостерігається приладом, і це приводить до нової зміни температури. Такий звемозависок теплового і електричного режимів НПП називається тепловим зворотним зв'язком. Механізм його дії у приладі пояснюється на рис. 7.1.

Потужність джерела $P_{\text{дж}}$ передається до навантаження /Р/ . Частково потужність розсіюється в структурі НПП і перетворюється в тепло Q . Тепловий спір R_T може бути нагрівання структури $\Delta T_j = QR_T$. Під дією температурної залежності параметрів структури /блок Р/ T_j // замикається коло теплового зворотного зв'язку. В залежності від глибини зворотного зв'язку, теплового спору, температури сегадоміча я інших факторів температура структури T_j обмежується на певному рівні ібо необмежено зростає аж до виходу приладу з діапазону.

Приклад дії теплового зворотного зв'язку у біполярних НПП - відоме з попереднього матеріалу явище самоперегріву. Тепловий зворотний зв'язок має бути врахований при тепловому розрахунку НПП.

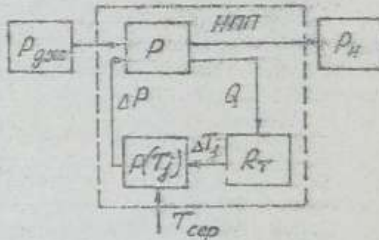


Рис. 7.1. Тепловий зворотний зв'язок напівпровідникового приладу

7.1.4. Тепловий розрахунок у режимі постійного струму

Тепловий розрахунок у режимі постійного струму зводиться до розрахунку температури структури T_j за умови забезпечення теплостійкості НП

$$T_j \leq T_{j\max}, \quad /7.3/$$

де $T_{j\max}$ - максимальна допустима температура структури, перевищення якої в тривалих режимах експлуатації забороняється. Значення $T_{j\max}$ для конкретних типів пристрій дається у довідниках.

Для визначення температури структури T_j в режимі постійного струму НП треба представити схемою заміщення, яка складається тільки з теплових опорів /рис. 7.2/.

Із схеми заміщення видимо температуру структури

$$T_j = P(R_{ct-k} + R_{k-o} + R_{o-ser}) + T_{cap}, \quad /7.9/$$

де R_{ct-k} - тепловий опір ділення між структурою і корпусом НП /внутрішній тепловий опір/;

R_{k-o} - тепловий опір між корпусом пристрій і охолоджувачем;

R_{o-ser} - тепловий опір між охолоджувачем і навколошнім середовищем.

Тепловий розрахунок НП в режимі постійного струму має наступний алгоритм.

I. Розрахувати тепловий опір системи „структурна-середовище”:

$$R_{ct-ser} = R_{ct-k} + R_{k-o} + R_{o-ser}.$$

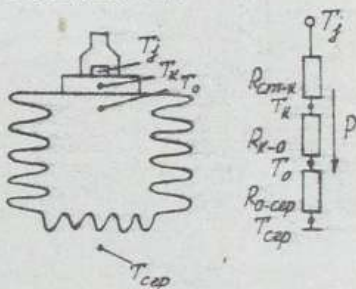


Рис. 7.2. Термова модель НП у режимі постійного струму

2. Визначити максимально допустиму потужність втрат за даними значеннями $T_{j\max}$ і T_{sep} :

$$P_{\max} = (T_{j\max} - T_{sep}) / R_{st-cpr}. \quad /7.11/$$

3. Розрахувати максимально допустимий прямий струм, користуючись зв'язком між струмом і допустимою потужністю втрат.

Зменшення температури структури, тобто підвищення надійності роботи НП, можливе або за рахунок інтенсивного охолодження /зменшення R_{st-cpr} /, або за допомогою зменшення потужності втрат.

Потужність втрат і внутрішній тепловий опір

Для визначення потужності втрат відкритий НП заміняється еквівалентною електричною схемою, яка складається з джерела напруги U_0 і динамічного опору γ_{dyn} /рис. 7.3/.

При протіканні постійного струму I потужність втрат

$$P = U_0 I + I^2 \gamma_{dyn}. \quad /7.12/$$

В табл. 7.2 наведені параметри схеми заміщення /рис. 7.3/ для різних класів НП, методика визначення параметрів за БАК, а також формули розрахунку потужності втрат.

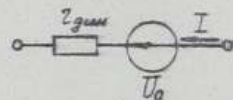


Рис. 7.3. Електрична модель НП у відкритому стані

Таблиця 7.2

	Діод і тиристор	Еїнополярний транзистор	ІП-транзистор
$I =$	$I = \text{ctg} \varphi = \gamma_{dyn}$	$I = \text{ctg} \varphi = \gamma_{dyn}$	$I = \text{ctg} \varphi = \gamma_{dyn}$
$P =$	$P = I U_0 + I^2 \gamma_{dyn}$	$P = I_{sat} [U_0 + I_{sat}^2 \gamma_{dyn}]$	$P = I_c U_{cb}$

Потік тепла від напівпровідникової структури визначається наступними внутрішніми факторами: теплопровідність, формою і розмірами кристала, якість з'єднання кристала з основою, теплопровідність матеріалу-основи, формою і розмірами основи приладу, а також тепловим опором виводів. Всі ці фактори задають значення внутрішнього теплового опору приладу R_{ct-k} . Слід зауважити, що R_{ct-k} визначає границю навантажувальної здатності НП, яка задається формулою /7.11/ при $R_{k-c} + R_{c-cap} \rightarrow 0$

$$P = (T_{j_{max}} - T_{c\phi}) / R_{ct-k}, \quad /7.13/$$

і жодними відокремленнями охолоджувача і умов охолодження ця межа не може бути перевищена. Рикористувачі НП, розробник не може впливати на названі фактори і користується значенням теплового опору R_{ct-k} з довідника. Але в той же час температуру структури можна знизити за рахунок гібчу приладу з краями теплофізичними параметрами корпусу. Нижче наведені приблизні значення теплових спорів типових корпусів потужних НП.

Тип корпусу	R_{ct-k} , °C/Wt
TO-3, 61, 66, I27; ДО-5.....	0,4-2,0
TO-220; ДО-4.....	2,0-5,0
TO-126.....	4,0-15,0
TO-5, 18, 92.....	30,0-100,0

Внутрішній тепловий опір насамперед визначається конструкцією приладу. Найбільшого застосування у силових приладах набули конструкції штирьового та таблеткового типів.

Для НП штирьової конструкції основний тепловий потік /35-95 % тепла/ спрямований від джерела тепла - активного елемента - до основи і далі - через охолоджувач до середовища /рис.7.2/. Це прилади з одностороннім теплопровідом; перенос тепла в ширину верхнього виводу в них не відбувається.

В приладах таблеткової конструкції тепловий потік розділяється на дві частини, і теплопровід стає двостороннім /рис.7.4/. Внутрішній тепловий опір приладу зменшується і при симетрії теплопровіду дорівнює

$$1/R_{ct-k} = 1/R_{ct-k_1} + 1/R_{ct-k_2}, \quad /7.14/$$

$$\text{де } R_{ct-k_1} = (T_j - T_k) / P_1;$$

$$R_{ct-k_2} = (T_j - T_k) / P_2.$$

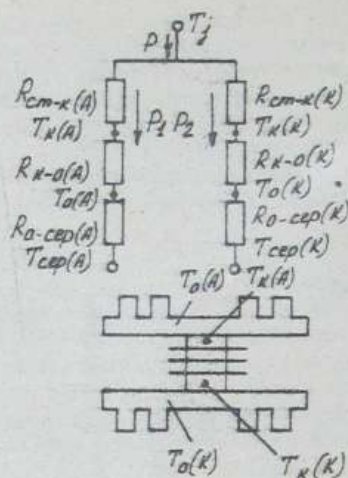


Рис. 7.4. Теплова модель приставки таблеткової конструкції в режимі постійного струму

Тепловий опір корпус-охолоджувач

Захади по зниженню R_{k-o} суттєво впливають на поліпшення теплового режиму НП. Для зменшення теплового опору корпус-охолоджувач

між поверхнями корпусу та охолоджувача потрібно вводити тепlopровідні мастиле;

контактуючі поверхні мають бути плоскими і рівними;

площа контакту має бути максимальною;

закручувальний момент повинен відповідати значенням, рекомендованим виготовлювачем НП; збільшення закручувального моменту в допустимих межах дозволяє знизити R_{k-o} ;

при необхідності ізоляції корпусу приставки від охолоджувача треба вибирати ізоляційний матеріал з мінімальними тепловими опорами /табл. 7.3/.

Таблиця 7.3

Матеріал прокладки	Товщине, мм	Загальний згинальний момент, Н/м _{кн}	Тип корпусу	R_{k-0} , °С/Вт
Сліда	0,145	1/3 1/3	T0-3 T0-66 T0-220	0,8 1,6 5,2
Пластик	0,051	1/3 1/3	T0-3 T0-66 T0-220	0,8 1,6 5,2
Органічна тум'я	3,05	1/3 2/3	T0-3 T0-66 T0-220	1,2 2,4 7,9
Без ізоляції	-	1/3 2/3 1/3	T0-3 T0-66 T0-220	0,15-0,25 0,35-0,45 0,55-0,65

В табл. 7.3 значення R_{k-0} ізоляційних прокладок подається з урахуванням того, що застосовується теплопровідне мастило.

Тепловий опір контакту корпус-схолоджувач може бути знайдений за формулou

$$R_{k-0} = \frac{1}{S_{\text{мат}}} + \frac{l}{2S}, \quad /7.15/$$

де $S_{\text{мат}}$ - питома поверхнева теплопровідність контакту корпус-схолоджувач; $l/2S$ - тепловий опір ізоляції прокладки (може бути визначений за табл. 7.3).

Нижче наведені значення $S_{\text{мат}}$ контактів різних пар матеріалів при даній нерівності контактуючих поверхонь і стисненні 10 Н/м².

Питома теплопровідність контактів матеріалів, Вт/°С·м ²
Мідь - залізний.....
Мідь - мідь.....
Мідь - дореламіній.....

У процесі експлуатації НПЗ значення R_{k-0} може збільшуватися внаслідок зниження сили притиску поверхонь з причини коливань і вібрації, окислення контактуючих поверхонь, ви-

току мастила. Необхідно періодично перевіряти якість континту корпус-охолоджувач, щоб забезпечити надійну роботу НПІ.

Тепловий опір охолоджувач-середовище

Завдяки простоті і зручності в експлуатації найбільш поширеним є повітряне охолодження. Теплопередача від охолоджувача до навколишнього середовища здійснюється конвекцією і випромінюванням.

У формулі /7.2/ коефіцієнт конвективного теплообміну α_K є функцією теплофізичних властивостей, температури і швидкості руху теплоносія, а також компігурації і розмірів поверхні теплообміну.

Теплообмін при випромінюванні залежить від коефіцієнта випромінювання матеріалу охолоджувача ϵ . Значення коефіцієнтів наведемі нижче.

Матеріал охолоджувача	Коефіцієнт випромінювання, ϵ
Алюміній полірований.....	0,05-0,1
Алюміній анодований.....	0,7-0,9
Мідь полірована.....	0,05-0,1
Олійні фарби.....	0,92-0,96
Сталь.....	0,55-0,65
Лак.....	0,8-0,95

Металева поверхня випромінює ефективніше, ніж блискуча.

Просте повітряне охолодження /за допомогою вільної конвекції/ має низький коефіцієнт теплообміну $\alpha_K \leq 10 \text{ Вт}/\text{м}^2\cdot\text{К}$. Тому потужність НПІ з простим повітряним охолодженням не перевищує $10-15 \text{ кВт}$.

В більшості силових пристріїв застосовується вимушене повітряне охолодження /за рахунок вентиляції/. При цьому значення коефіцієнта теплообміну $\alpha_K = 70-150 \text{ Вт}/\text{м}^2\cdot\text{К}$ в залежності від швидкості повітря.

При простому повітряному охолодженні 70 % тепла відводиться за допомогою конвекції, 30 % - випромінювання. При вимушеному охолодженні роль випромінювального тепловідводу зменшується до 2-7 %, що дозволяє застосовувати більш компактну конструкцію охолоджувача.

Основні вимоги до монтажу конвективних охолоджувачів:
при вільній конвекції максимальна температура поверхні тепло-
відводу має розміщатись у вертикальній площині;

НП, які є джерелом тепла, не повинні підноситись над
охолоджувачем;

при примушенні конвекції малопотужні НП монтується на
початку потоку, а потужні - на кінці.

Вибір охолоджувача

При виборі охолоджувача НП враховуються наступні дані:
параметри режиму експлуатації приладу /величина струму, тривалість відкритого стану, діапазон робочих температур/; клас приладу /діод, тирістор, ЕТ, МП-транзистор, оптрон тощо/; елементи конструкції /наявність ізоляційної прокладки між корпусом і охолоджувачем, теплові параметри прокладки, наявність теплопровідного матеріалу між корпусом приладу та охолоджувачем, теплові параметри мастила/; кількість приладів на одному охолоджуванні; відстань між охолоджувачами; параметри навколишнього середовища /температура, тиск, швидкість потоку теплоносія/.

Вибір охолоджувача зводиться до визначення його конструкції і розмірів, які забезпечують тепlostійкість приладу, тобто задовільняють умову $T_j \leq T_{j\max}$. Задача розв'язується методом послідовних наближень. В першому наближенні з ряду типових охолоджувачів, що випускаються промисловістю, за максимально допустимою потужністю втрат або за тепловим опором охолоджувача R_o /табл. 7.4/ вибирається з деяким запасом найбільший придатний охолоджувач. Ряд типових охолоджувачів обмежений, "запас", що виникає в результаті розрахунку, може виявитись значним, що приведе до збільшення маси і габаритів пристроя в цілому. Тому доцільним є більш точний розрахунок максимально необхідного теплового опору охолоджувача за тепловим моделлю, що дає змогу спроектувати охолоджувач.

Розрахунок охолоджувача здійснюється наступним чином.
Записується тепловий аналог закону Ома

$$T_j - T_{ap} = P(R_{ct-k} + R_{k-o} + R_{o-ap}). \quad M.16/$$

Потім з довідкових даних вибирається значення внутрішнього опору НП R_{ct-k} з урахуванням впливу типу корпусу приладу на тепловіддів. Спір R_{k-o} визначається за формулами /7.15/.

Таблиця 7.4

Тип охолоджувача	Маса, кг	Тепловий опір $R_c, ^\circ\text{C}/\text{Вт}$	Потужність втрат, Вт
Для приладів штирьової конструкції			
0-III-60	0,11	5,5	10
0-I3I-60	0,189	2,3	16
0-I5I-80	0,42	1,82	50
0-I6I-80	0,8	1,1	70
0-I8I-II0	1,75	0,68	130
Для приладів таблеткової конструкції			
0-I23-I00	2,0	0,7 / 0,21 /	120
0-I43-I50	3,0	0,5 / 0,2 /	120
0-353-I50	5,3	0,36 / 0,095 /	220
0-I53-I50	6,0	0,27 / 0,075 /	220
0-I73-200	17,0	0,18 / 0,045 /	400
0-273-250	20,0	0,13 / 0,043 /	460

Після цього максимально необхідний тепловий опір охолоджувача R_c відповідатиме його максимально допустимому перегріву, що визначається за формуллою 7.16/

$$\Delta T_{max} = T_{max} - T_{ref} \leq k_T [T_{jmax} - T_{con} - P(R_{d-k} + R_{co})]^{1/2}, \quad 7.17$$

де $k_T = f(L)$ - коефіцієнт, що враховує нерівні мірність нагріву охолоджувача при збільшенні його розмірів / L - максимальний лінійний розмір охолоджувача/.

На основі вимог до маси, габаритних розмірів і вартості пристрою з урахуванням можливостей виробництва вибирати конструкцію охолоджувача і його розміру. Далі на основу крім розрахунку визначається площа поверхні конвективного обміну S_k і площа поверхні випромінювального обміну S_g . На основі знайденого максимального перегріву охолоджувача ΔT_{max} і формул для теплових спорів конвективії 7.2/ і випромінювання 7.3/ записують теплову характеристику охолоджувача

$$\Delta T_{max} \geq P / [\alpha_k (\Delta T) S_k + \varepsilon S_g f(\Delta T)], \quad 7.17/$$

де $\Delta T \leq \Delta T_{max}$ - перегрів охолоджувача;

$\alpha_k(\Delta T_o)$ - коефіцієнт конвективного теплообміну /за формулами 7.5. / і 7.5.6/;

ε - коефіцієнт випромінювання;

$$f(\Delta T_o) = C_0 \left[\left(\frac{T_o}{100} \right)^4 - \left(\frac{T_{\text{ср}}}{100} \right)^4 \right].$$

З формули 7.17/ визначить площі $S_k + S_\delta$ поверхні охолоджувача, який задовільняє вимозі забезпечення ефективного відводу тепла у навколишнє середовище.

Наведемо приклади охолоджувачів. Для плоскої пластини як охолоджувача вважаєть, що $S_k = S_\delta = 2 S_a = S$ і теплову характеристику одержують у вигляді

$$P = \Delta T_o S [2.84 \cdot 10^{-5} \varepsilon (\Delta T_o + 2T_{\text{ср}})^3 + \alpha_k(\Delta T_o)]. \quad /7.18/$$

Охолоджувач - пластина простий у виготовленні, м'як низьку вартисть, але потребує великих об'ємів.

З метою підвищення ефективності тепловідводу і зменшення габаритів переходить до ребристих охолоджувачів /рис. 7.5/. При їх розрахунку необхідно враховувати, що у випромінюванні бере участь здебільшого зовнішня поверхня охолоджувача, а у конвекції беруть участь обидві поверхні: зовнішня і внутрішня, тобто міжреберний простір. Тоді площа поверхонь теплообміну:

$$S_\delta = 2L(B+H) + 2BH; \quad /7.19/$$

$$S_k = [2(H-d) + \Delta](n-1)L + L(B+\Delta H + \delta_n), \quad /7.20/$$

де n - кількість ребер охолоджувача.

Теплова характеристика ребристого охолоджувача, на основі якої здійснюється його розрахунок, задається виразом

$$P = \Delta T_o [\alpha_k(\Delta T_o) S_k + \varepsilon S_\delta f(\Delta T_o)]. \quad /7.21/$$

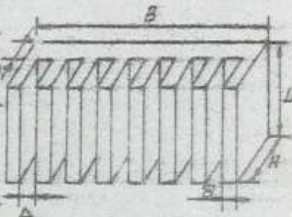


Рис. 7.5. Конструкція ребристого охолоджувача НПП

Ребристі складжувачі також прості у виготовленні, дозволяють відводити значні потужності, але ефективність тепловідводу в них сильно залежить від орієнтації відносно потоку теплоносія, що не завжди є зручним при розробці конструкції пристроя в цілому.

7.2. ПОСЛІДОВНЕ ТА ПАРАЛЕЛЬНЕ З'ЄДНАННЯ НАПІВПРОЦЕСКОВИХ ПРИЛАДІВ

Часто в силових електронних пристроях мають справу з величими навантаженнями і струмами. Це вимагає застосування відповідно послідовного або паралельного з'єднання вентильних та інших напівпровідникових пристроя.

Послідовне і паралельне з'єднання пристроя дозволяє:

1. Розширити граничні можливості пристроя, а саме підвищити граничне значення загальної потужності втрат до значення

$$P_{\text{зар}} = \sum_{k=1}^n P_k, \quad /7.22/$$

де P_k – максимальна допустима потужність втрат окремого пристроя в з'єднанні;

n – кількість пристроя в з'єднанні;

підвищту граничне значення напруги у закритому стані /при послідовному з'єднанні/ до значення

$$U_{\text{зар}} = \sum_{k=1}^n U_k; \quad /7.22/$$

збільшити граничне значення струму у відкритому стані /при паралельному з'єднанні/ до значення

$$I_{\text{зар}} = \sum_{k=1}^n I_k. \quad /7.24/$$

2. Уникнути граничного режиму експлуатації за будь-яким параметром, що дозволяє підвищити надійність НПП і всього пристроя в цілому. Наприклад, для забезначення напруги 2000 В використовуючи два послідовно з'єднаних пристроя з напругою 1000 В, при цьому потужність втрат на кожному пристрі зменшується в 2 рази, відповідно зменшується температура структури і підвищується надійність роботи.

Але названі переваги групового з'єднання НПП повністю дійснуються лише при абсолютній ідентичності пристроя. Навіть

всередині одного типу є значний розподіл електричних і теплових параметрів від приладу, який суттєво знижує ефективність групового з'єднання: з'являються нерівномірності розподілу напруг при послідовному і струмів при паралельному з'єднанні, і стоять потрібними спеціальні заходи по вирівнюванню тих нерівномірностей. Так, наприклад, якщо маємо послідовне з'єднання випрямлюючих діодів, то допустима зворотна напруга групи не дорівнює сумі допустимих зворотних напруг окремих діодів. Справа в тому, що притаманний діодам маєте 20-кратний розподіл величини зворотного опору призводить до нерівномірного розподілу зворотної напруги між діодами групи і, як наслідок, до пробою однієї з одним усіх діодів.

Для ліквідації нерівномірності розподілу зворотної напруги між послідовно з'єднаними діодами останні шунтують спорвами $R_{sh} = 1-10 \text{ к}\Omega$ /рис. 7.6, а/. Опори шунтувальних резисторів вибираються з міркувань, щоб струм, що протікає через резистори, був у кілька разів більший зворотного струму діодів. Це зумовлює рівномірний розподіл зворотних напруг у стаціональному режимі і при зміні температури.

Порушення рівномірного розподілу зворотних напруг між діодами групи може виникнути і під час процесу відновлення запірних властивостей діодів /при переході їх з провідного стану до непровідного/. Напруга на діодах, котрі має відновили свій високий зворотний опір, швидко наростиє і може перевищити гранично допустимий рівень, що призведе до пробою діода. Для захисту від перенапруги паралельно шунтувальних резисторів підключають конденсатори, ємність яких у кілька раз перевищує ємність діодів /рис. 7.6, б/. Інаслідок цього зміна напруги на діодах у перехідному режимі сповільнюється.

Якщо прямий струм в електричному колі перевищує значення, допустиме для одного діода, то рекомендується застосувати

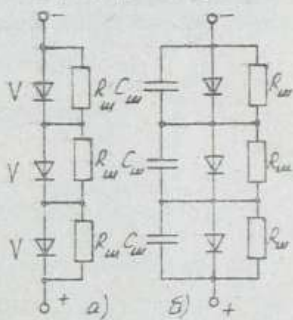


Рис. 7.6. Вирівнювання напруг на діодах в стаціонарному і перехідному режимах

паралельне виключення діодів /рис. 7.7/. Однак внаслідок неідентичності прямих віток ВАХ діодів навіть одного типу струм, що протікає через одні з паралельних віток, може значно перевищувати струми, що протікають в інших вітках паралельного з'єднання діодів. При цьому один з діодів перегрівається, його пробивне напруга зменшується, що викликає подальший розігрів діода за рахунок збільшення зворотного струму, і діод виходить з ладу. Отже, паралельне з'єднання діодів допустиме лише в тому випадку, коли в кожну вітку постійно з діодом увімкнути додатковий опір R_g , що становить одиниці або частини ома.

Струси потужних діодів вирівнюють за допомогою індуктивностей.

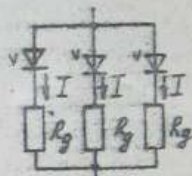


Рис. 7.7. Вирівнювання прямих струмів через діоди у паралельному з'єднанні

ДОДАТОК

ПОЗНАЧЕННЯ ОСНОВНИХ РЕЗУЛЬТАТІВ І ПАРАМЕТРІВ

- U_{cb} - напруга між стоком та витоком ПТ
 U_{gb} - напруга між затвором та витоком ПТ
 I_3, I_c - струм затвора, стоку ПТ
 N_A, N_D - концентрації акцепторів, донорів
 $U_{gb}^{\text{затв}}$ - напруга відсічки на затворі
 U_K - контактна різниця потенціалів
 q - заряд електрона
 ε - товщина $p-n$ - переходу
 w_K - ширина каналу
 R_K - опір каналу
 L_K - довжина каналу
 $U_{\text{одбр}}$ - напруга перекриття каналу /на стоні/
 U - напруга між стоком і затвором ПТ
 S_{pt} - крутизна польового транзистора
 $\gamma_{\text{спт}}$ - внутрішній опір ПТ
 M_{pt} - статичний коефіцієнт підсилення напруги ПТ
 G - питома електропровідність
 p_{n+} - власна концентрація дірок, електронів
 $I_{\text{ст}}$ - початковий струм стону
 M_T - рухомість носіїв в залежності від температури
 T - абсолютна температура
 $\gamma_{\text{кан}}$ - середній опір каналу
 C_{gb}, C_{cb}, C_{cc} - ємності між затвором і витоком, стоком і витоком, стоком і затвором ПТ
 ω_3 - гранична частота ЗПЧ /частота затвора/
 Q_S, Q_{S1} - нульовий та одиничний заряди потенціальніх ям ПТЗ
 U_A, I_A - анодні напруга, струм
 R_H - опір невиникнення
 h_{cb} - статичний коефіцієнт передачі струму смітера ПТ в схемі зі спільним басисом
 $U_{\text{ткв}}$ - напруга виключення тиристора
 $I_{\text{ткв}}$ - струм виключення /утримування/ тиристора
 $U_{\text{пор}}$ - порогова напруга
 Φ - світловий потік
 S_Φ - інтегральна світлоочутливість фотодіода
 I_Φ - фотострум
 I_T - темновий струм
 E_F - фотоДРС

- k_{Mf} - статичний коефіцієнт передачі струму ЕТ у схемі зі спільним емітером
 I_{B0} - зворотний /тактовий/ струм колектора ЕТ
 T_s - температура структури
 T_k - температура корпусу
 T_{ceo} - температура середовища
 T_c - температура охолоджувача
 $R_{et-k}, R_{k-o}, R_{o-ap}$ - темлові опори: між структурою НПН та його корпусом, між корпусом та охолоджувачем, між охолоджувачем та середовищем
 Q - тепловий потік
 S_k, S_b - площини поверхонь теплогабінку за рахунок конвекції та випромінювання

СІМСОК СКОРОЧЕНЬ

- ЕТ - біполярний транзистор
 ВАХ - вольт-амперна характеристика
 ПІ - зіттерний перехід
 ЕРС - електроруййна сила
 ККД - коефіцієнт корисної дії
 КП - колекторний перехід
 МДН - метал-діелектрик-напівпровідник
 МОН - метал-окис-напівпровідник
 НПН - напівпровідниковий прилад
 НП - напівпровідник
 ПЗЗ - прилад з зарядовим зв'язком
 ПТ - польовий транзистор
 ПТУП - польовий транзистор з керуванням $p-n$ - переходом

СІМСОК ЛІТЕРАТУРИ

1. Буличев А.Л. Электронные приборы.- К.: Воениздат, 1982.-476 с.
2. Паськів В.В., Чиркін Л.К., Шинків А.Д. Полупроводниковые приборы - М.: Вищ. школа, 1987.- 432 с.
3. Батушев В.А. Электронные приборы.- М.: Вищ. школа, 1980.-383с.
4. Тугов Н.И., Глебов Е.А., Чариков Н.А. Полупроводниковые приборы.- М.: Энергосгатоміздат, 1990.- 576 с.
5. Руденко В.С., Романко Е.Н., Трифенюк В.В. Промисловая електроніка - Кітів: Лабідь, 1993.- 432 с.
6. Лазаренко В.В.: Справочник по польоводниковым приборам.-Київ: Техніка, 1984.- 424 с.

ЗМІСТ

	Стор.
4. Польові транзистори.....	3
4.1. Польові транзистори з керуванням $p-n$ переходом.....	-
4.2. Польові транзистори з ізольованим затвором /MДП-транзистори/.....	12
4.2.1. Ефект поля.....	-
4.2.2. МДП-транзистори з індукованим каналом.....	13
4.2.3. МДП-транзистори з вбудованим каналом.....	15
4.3. Залежність характеристик і параметрів польових транзисторів від температури.....	17
4.4. Динамічний режим роботи польових транзисторів.....	19
4.4.1. Каскад на польовому транзисторі: розра- хунок у статичні і динамічні.....	20
4.4.2. Частотні властивості польових транзис- торів.....	23
4.5. Потужні польові транзистори.....	25
4.6. Польові прилади з зарядовим зв'язком.....	27
Тиристори.....	30
5.1. Будова та принцип дії тиристорів.....	-
5.1.1. Загальні відомості.....	-
5.1.2. Диністорний режим.....	32
5.1.3. Триністорний режим.....	36
5.1.4. Симістори.....	37
5.2. Способи комутації тирісторів.....	38
5.2.1. Включення тиристорів.....	-
5.2.2. Виключення тиристорів.....	40
Оптоелектронні напівпровідникові прилади.....	41
6.1. Загальні відомості.....	-
6.2. Випромірюючі діоди.....	42
6.3. Напівпровідникові фотоприймачі.....	44
6.3.1. Фоторезистори.....	-
6.3.2. Фотодіоди.....	45
6.3.3. Фотоприймачі з внутрішнім підсиленням.....	47
6.4. Оптрони та їх застосування.....	49
Ристплутателійні особливості напівпровідників приладів.....	52
7.1. Теплові режими і тепловий розрахунок напів- провідників приладів.....	-

7.1.1. Теплообмін прилад-навколоціне середовище..	-
7.1.2. Тепловий опір та теплова емність.....	54
7.1.3. Тепловий зворотний зв'язок у непідвісних просвідникових приладах.....	56
7.1.4. Тепловий розрахунок у режимі постійного струму.....	57
7.2. Послідовне та паралельне з'єднання непідвісних просвідникових приладів.....	66
Значення основних величин і параметрів. /додаток/.....	69
Список скріпачів.....	70
Список літератури.....	-